

教育部-华为智能基座课程

《人工智能基础与实践》

第12章：生成式人工智能

授课教师：丛润民

山东大学
控制科学与工程学院

章节目录

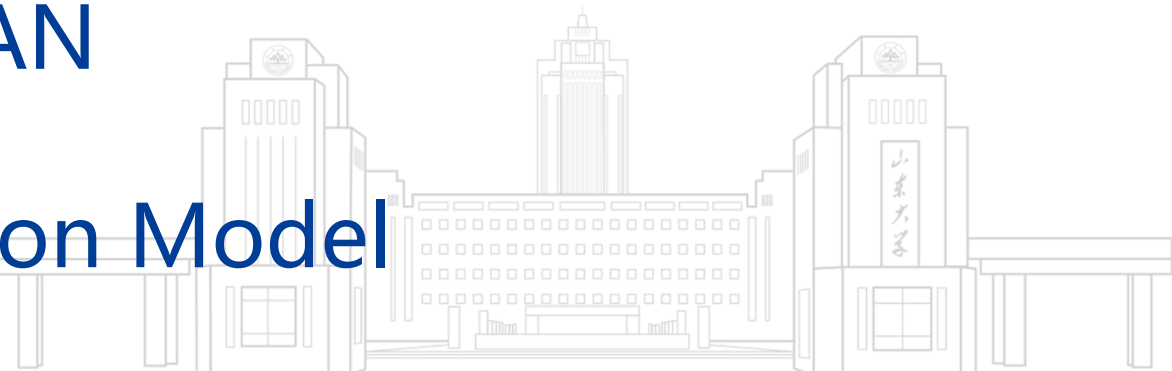
CONTENTS

01 | 背景介绍

02 | 变分自编码器 VAE

03 | 生成对抗网络 GAN

04 | 扩散模型 Diffusion Model



章节目录

CONTENTS

01 | 背景介绍

02 | 变分自编码器 VAE

03 | 生成对抗网络 GAN

04 | 扩散模型 Diffusion Model



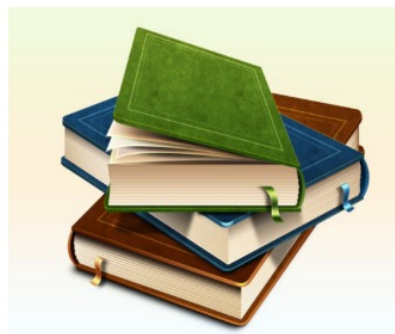
➤ 什么是生成式人工智能?



Computer Vision



Computational Speech

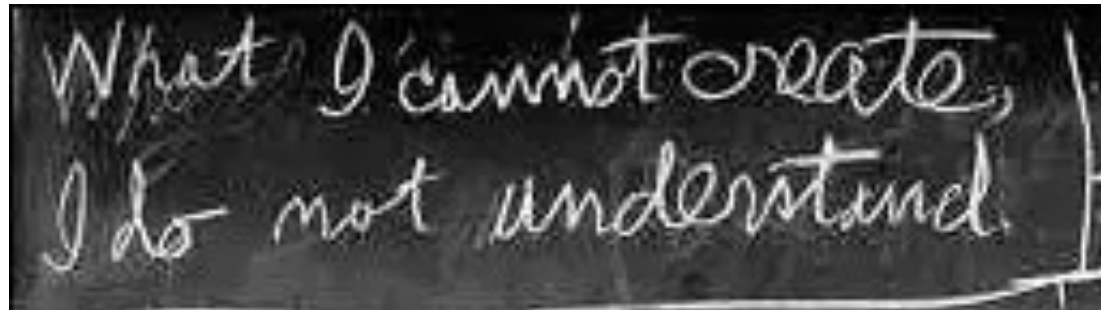


Natural Language Processing



Computer Vision/robotics

➤ 什么是生成式人工智能?

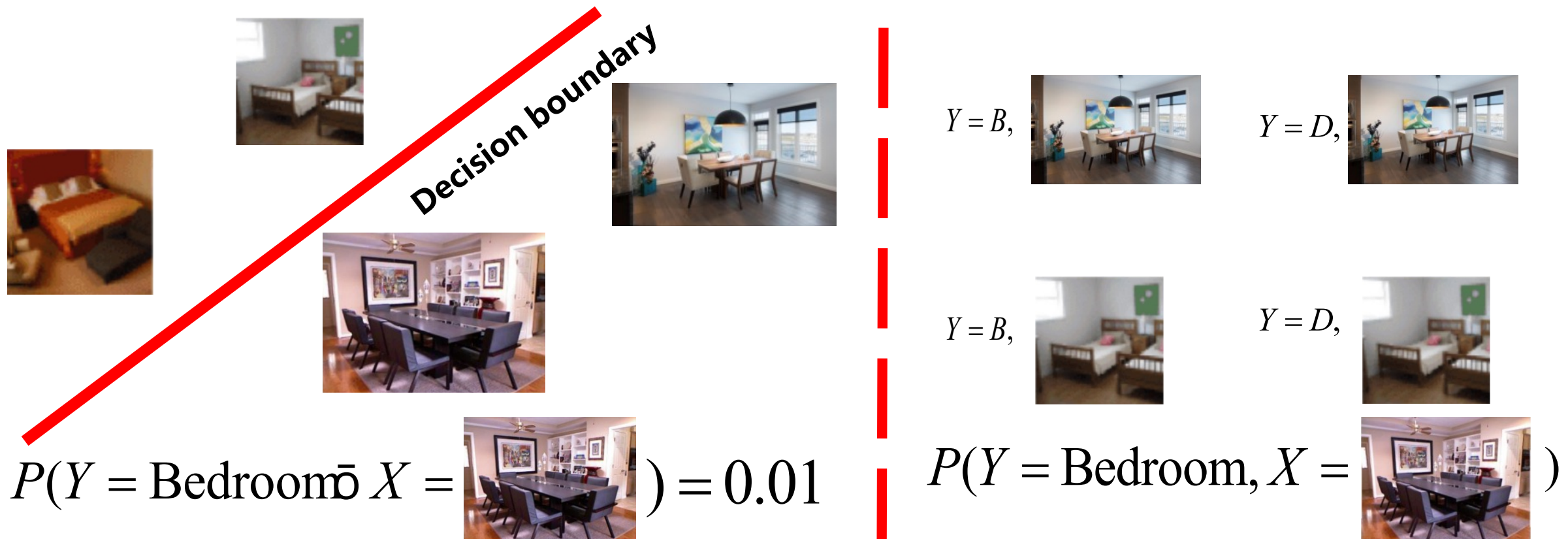


Richard Feynman: What I cannot create, I do not understand



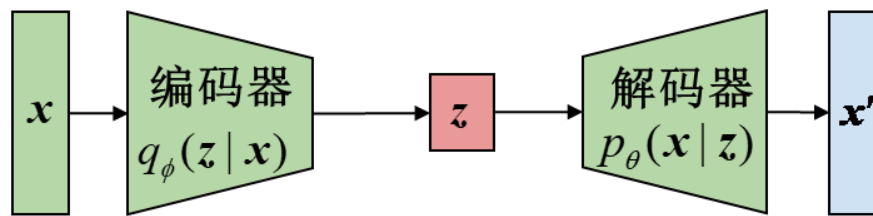
今天来说: *What I understand, I can create*

➤ 生成式 VS 判别式

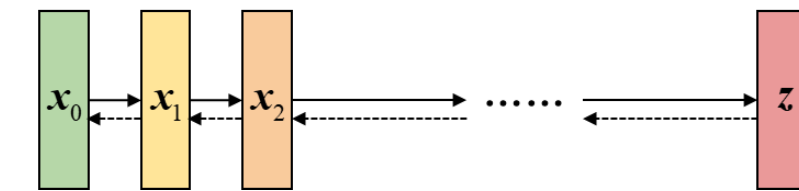


典型生成模型的结构示意图

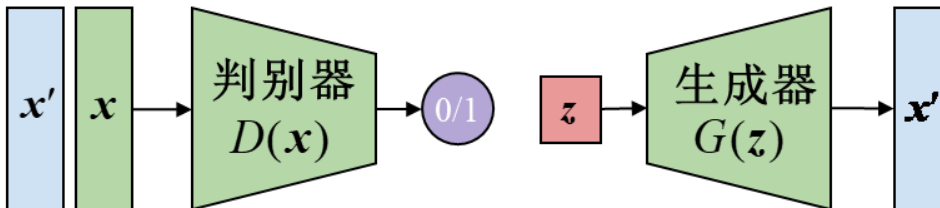
变分自编码器



扩散模型



生成对抗网络



章节目录

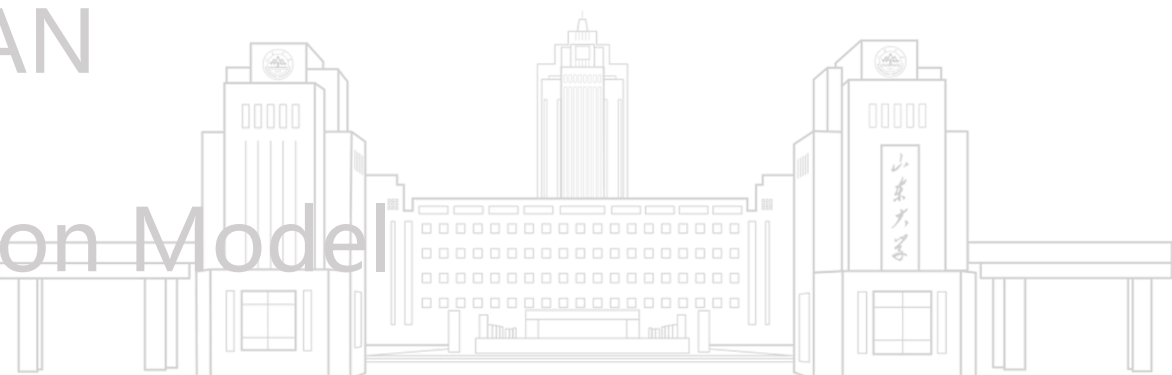
CONTENTS

01 | 背景介绍

02 | 变分自编码器 VAE

03 | 生成对抗网络 GAN

04 | 扩散模型 Diffusion Model

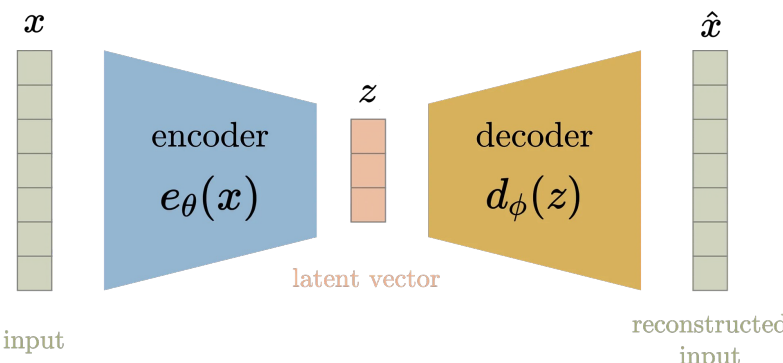


传统自编码器 AE (Auto Encoder)

➤ 工作机制

编码器 f_{enc} 将高维输入 $x \in \mathbb{R}_n$ 映射为低维空间上的点 z

$$x \rightarrow z = f_{enc}(x) \rightarrow \hat{x} = f_{dec}(z)$$



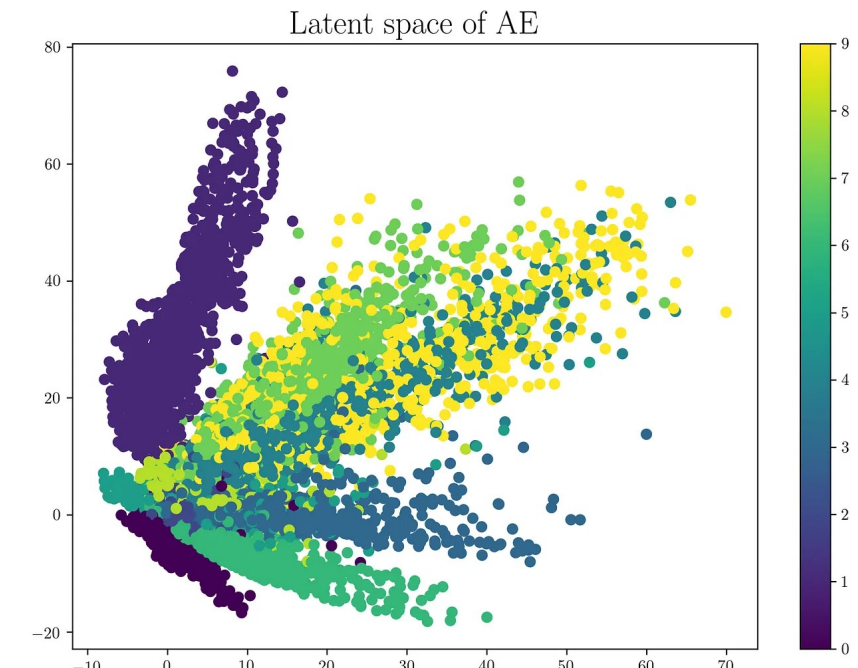
➤ AE的目标

仅仅是"记住"训练集数据的压缩表示，以最小化重构误差：

$$loss = \|x - \hat{x}\|_2 = \|x - d_\phi(z)\|_2 = \|x - d_\phi(e_\theta(x))\|_2$$

- AE是优秀的**压缩器**，但**不是生成器**：仅重构见过的数据，无法创造有意义的新样本

➤ 几何可视化



高维空间中的数据流形与低维潜在空间映射

➤ 引入概率分布 (Probabilistic Mapping)

VAE核心思想

将"确定性的点"替换为"概率性的区域"

不再输出单一坐标，而是输出完整概率分布

具体操作

1 编码器输出分布参数

不再输出坐标 z ，而是输出 $q\varphi(z|x) = N(z; \mu, \sigma^2)$

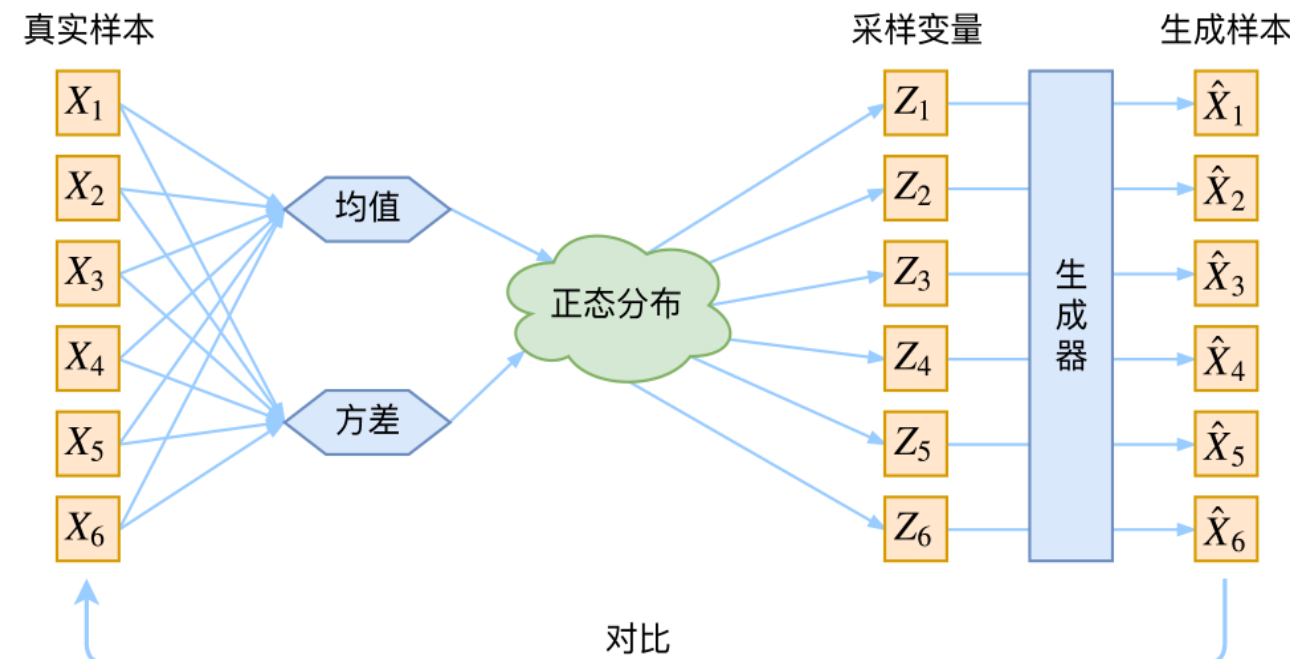
2 映射为云团

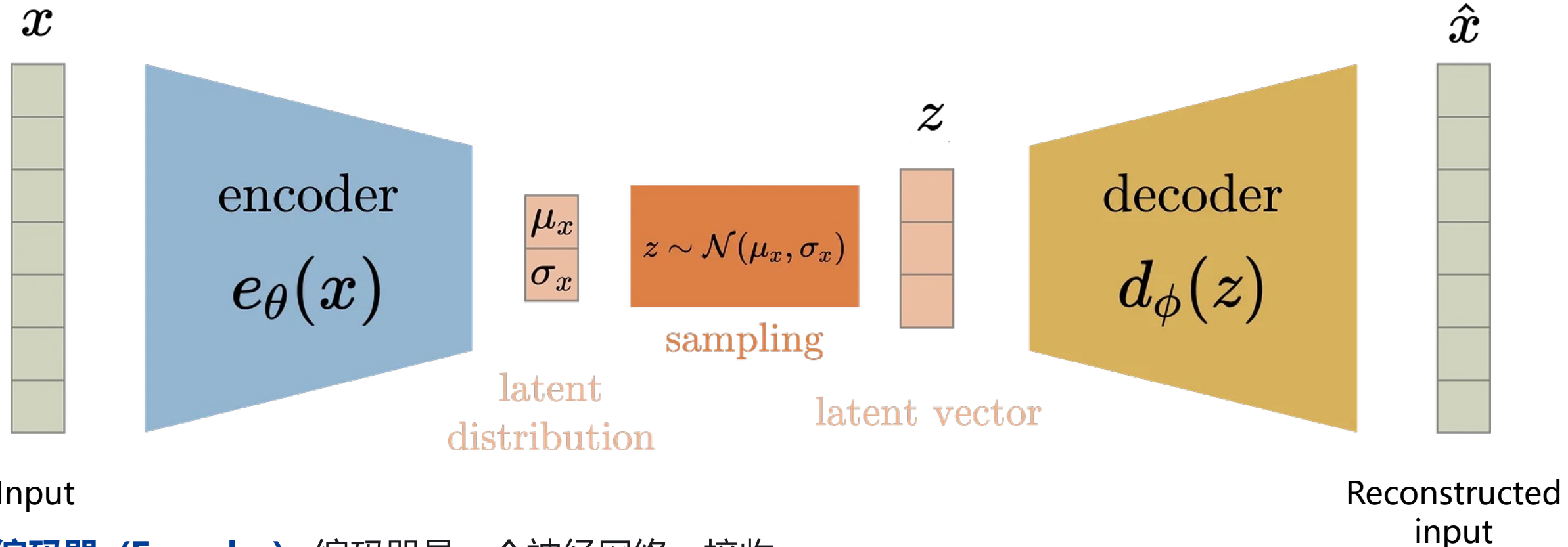
输入 x 被映射为潜在空间中的概率性区域

3 从分布中采样

从该分布中采样 $z \sim q\varphi(z|x)$ ，再由解码器生成

- **范式转变的意义：**通过引入概率分布，为潜在空间带来连续性和可采样性。





Input

编码器 (Encoder): 编码器是一个神经网络，接收输入数据 x ，输出的不是一个确定的潜在向量 z ，而是潜在空间中一个概率分布的参数，通常是高斯分布的均值 μ 和对数方差 $\log(\sigma^2)$ 。这种将输入映射到分布参数的方式，是VAE概率特性的根本来源。

Reconstructed input

解码器 (Decoder): 解码器是另一个神经网络，它接收从潜在空间采样得到的向量 z 作为输入，并尽力重构出原始的输入数据 x' 。

1. 生成过程假设

先验 (Prior) : 潜在变量服从标准正态分布 $p(z) = N(0, I)$

生成 (Generation) : 数据由解码器生成 $p(x|z)$

2. 推断难题 (The Inference Problem)

目标是求后验分布 $p(z|x)$ 。根据贝叶斯公式:

$$p(z|x) = p(x|z)p(z) / p(x)$$

⚠ 痛点: 分母 $p(x)$ 的积分在高维空间中计算不可行 (Intractable)。

3. 解决方案: 变分推断 (VI)

引入一个易于处理的近似分布 $q_\varphi(z|x)$ (即编码器神经网络)。

目标: 优化参数 φ , 使近似分布尽可能接近真实后验 (最小化 KL 散度)。

➤ 重参数技巧 (Reparameterization Trick)

VAE的目标是从编码器定义的分布 $q(z|x)$ 中采样。然而，直接从一个随机节点进行采样会导致梯度无法反向传播，从而无法训练整个模型。“重参数技巧”优雅地解决了这个问题。它将随机采样过程分离出来，**通过 $z = \mu + \sigma * \epsilon$ 来生成潜在向量 z**，其中 ϵ 是从标准正态分布（均值为0，方差为1）中采样的噪声。如此一来，模型的随机性来自于外部的 ϵ ，**而 μ 和 σ 仍然是编码器网络的可学习参数**，梯度得以顺利传播。

$$\text{reconstruction loss} = \|\mathbf{x} - \hat{\mathbf{x}}\|_2 = \|\mathbf{x} - d_{\phi}(\mathbf{z})\|_2 = \|\mathbf{x} - d_{\phi}(\mu_x + \sigma_x \epsilon)\|_2$$

$$\mu_x, \sigma_x = e_{\theta}(\mathbf{x}), \epsilon \sim \mathcal{N}(0, I)$$

$$\text{similarity loss} = \text{KL Divergence} = D_{\text{KL}}(\mathcal{N}(\mu_x, \sigma_x) \|\mathcal{N}(0, I))$$

$$\text{loss} = \text{reconstruction loss} + \text{similarity loss}$$

➤ 重构项 (Reconstruction)

要求：生成的图像要像原图

数学表达：
$$\text{reconstruction loss} = \|x - \hat{x}\|_2 = \|x - d_\phi(z)\|_2 = \|x - d_\phi(\mu_x + \sigma_x \epsilon)\|_2$$
$$\mu_x, \sigma_x = e_\theta(x), \epsilon \sim N(0, I)$$

倾向：减小方差 σ^2 , 退化回AE

章节目录

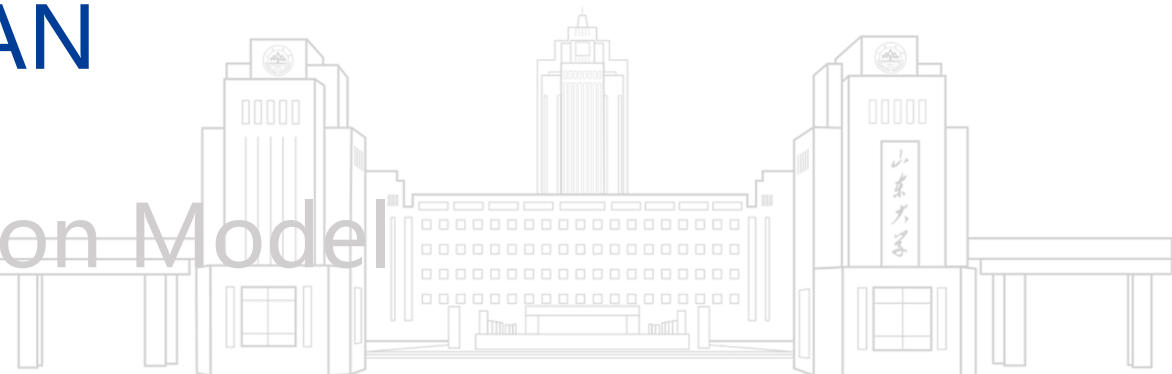
CONTENTS

01 | 背景介绍

02 | 变分自编码器 VAE

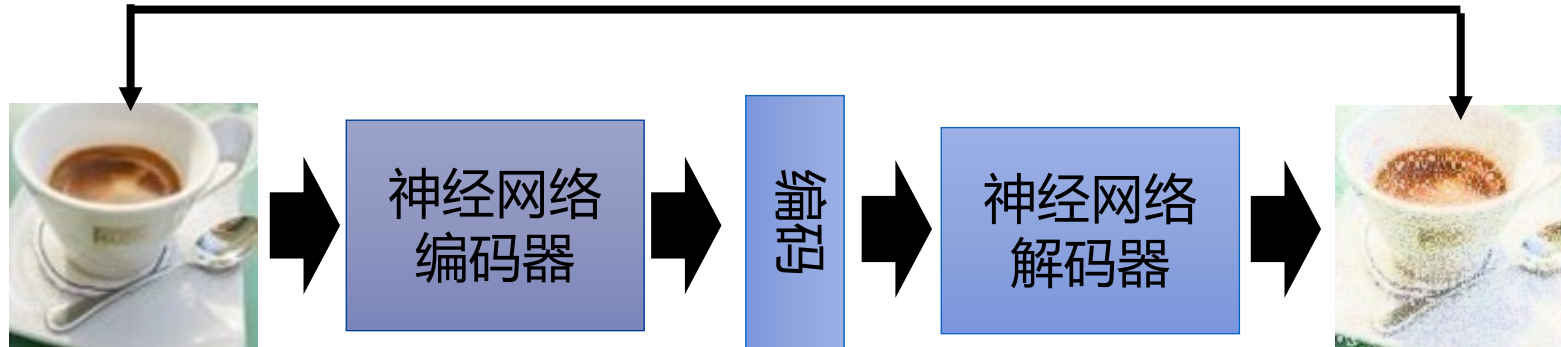
03 | 生成对抗网络 GAN

04 | 扩散模型 Diffusion Model



知识回顾：自编码器 (Auto Encoder)

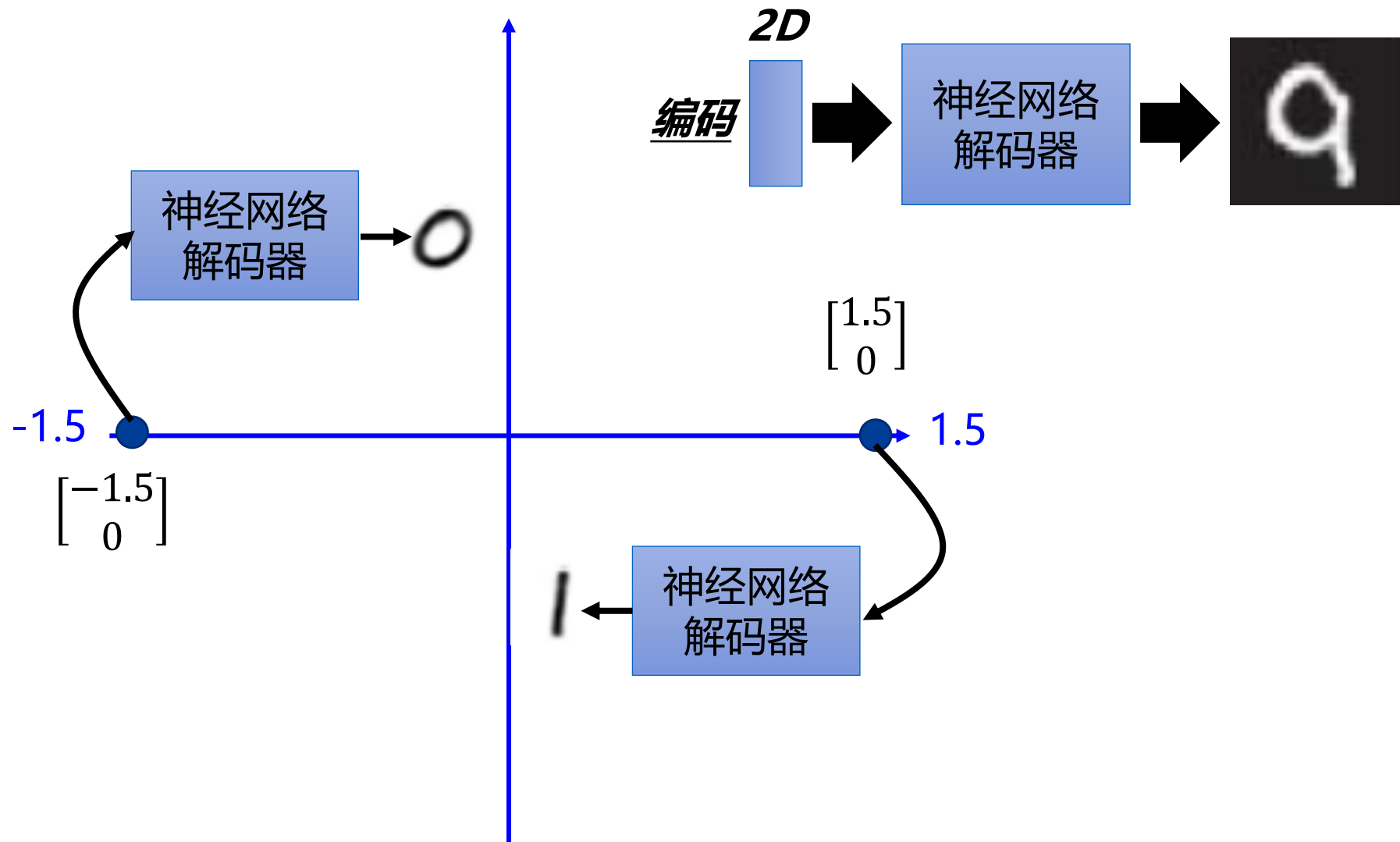
尽可能接近



随机生成一个向量作为
编码

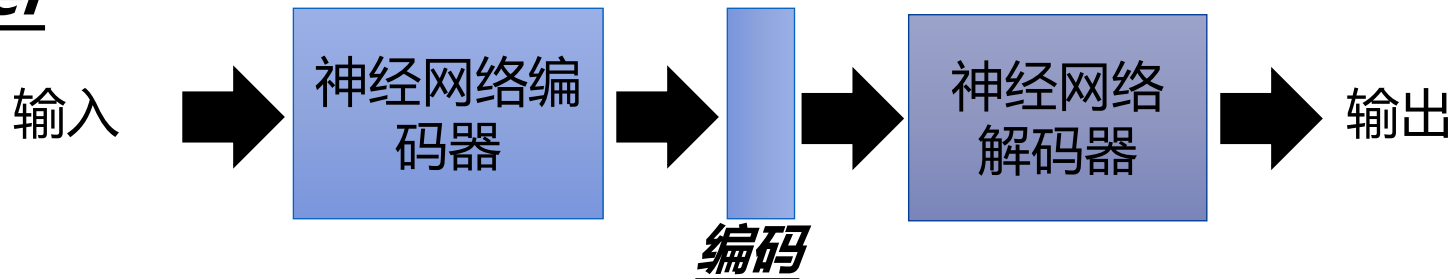


知识回顾：自编码器 (Auto Encoder)

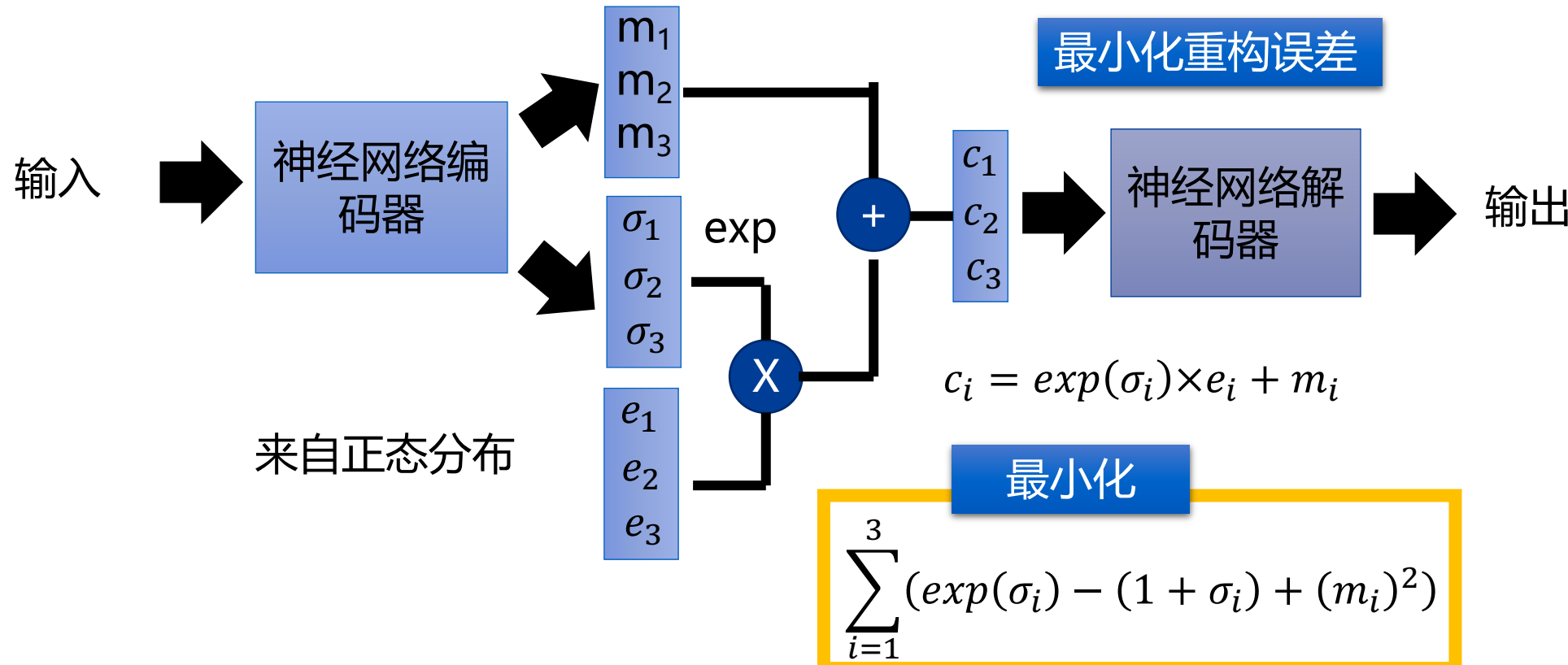


知识回顾：变分自编码器 (VAE)

Auto-encoder

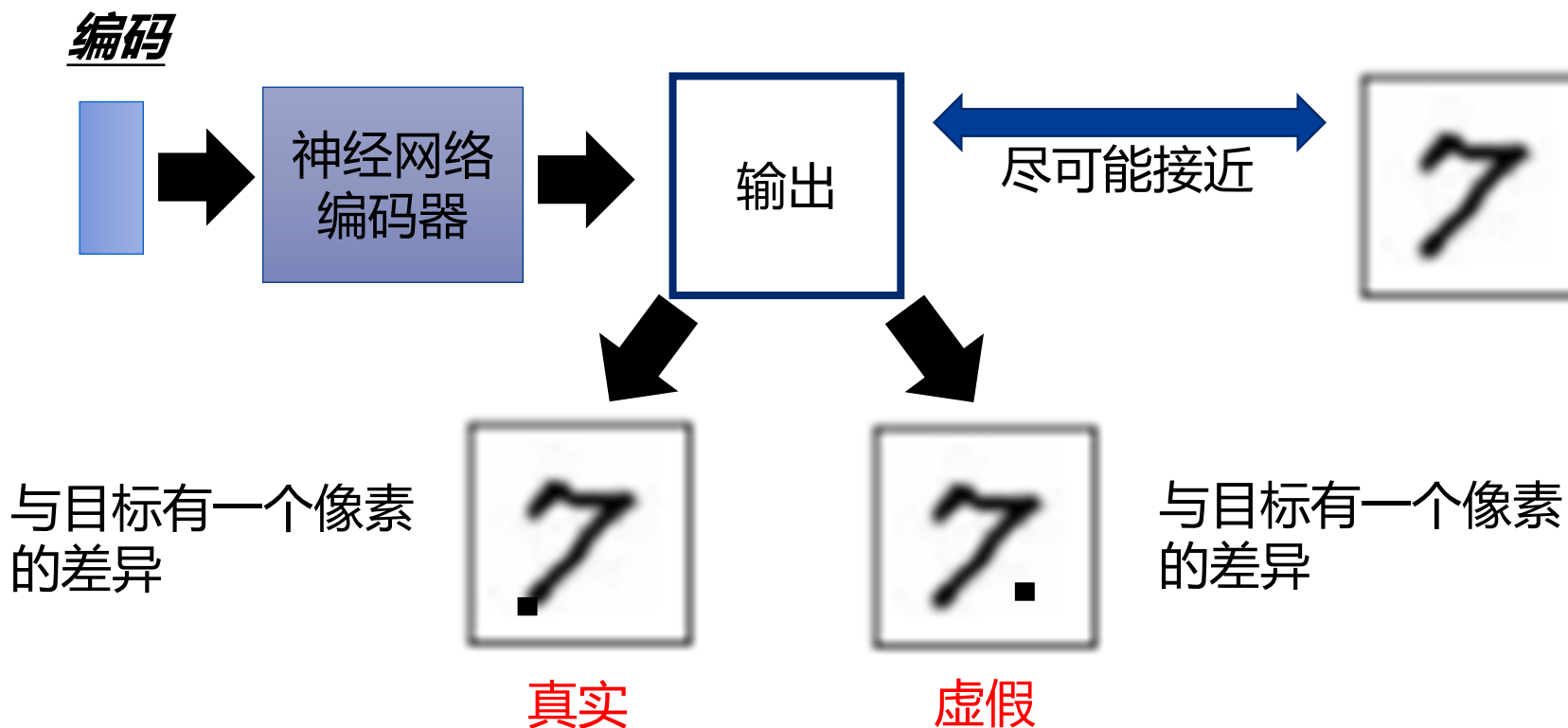


VAE

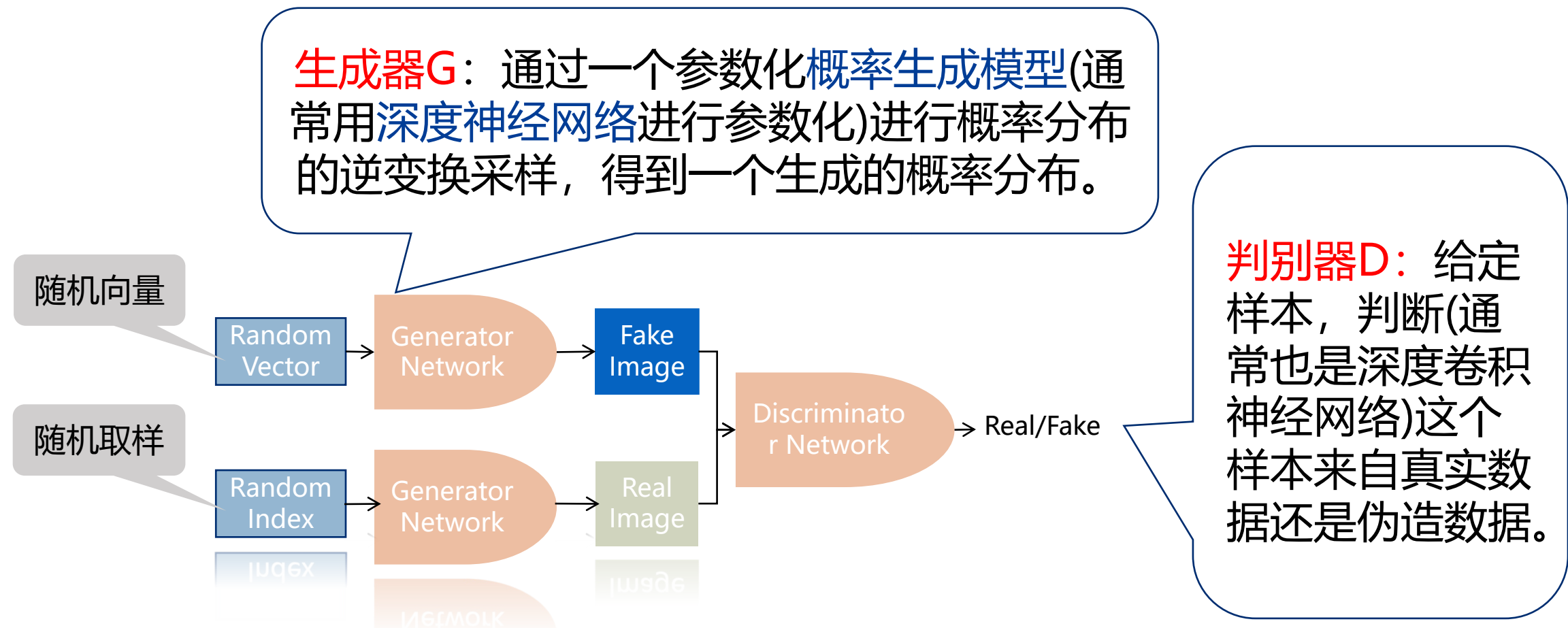


知识回顾：变分自编码器 (VAE) 的缺陷

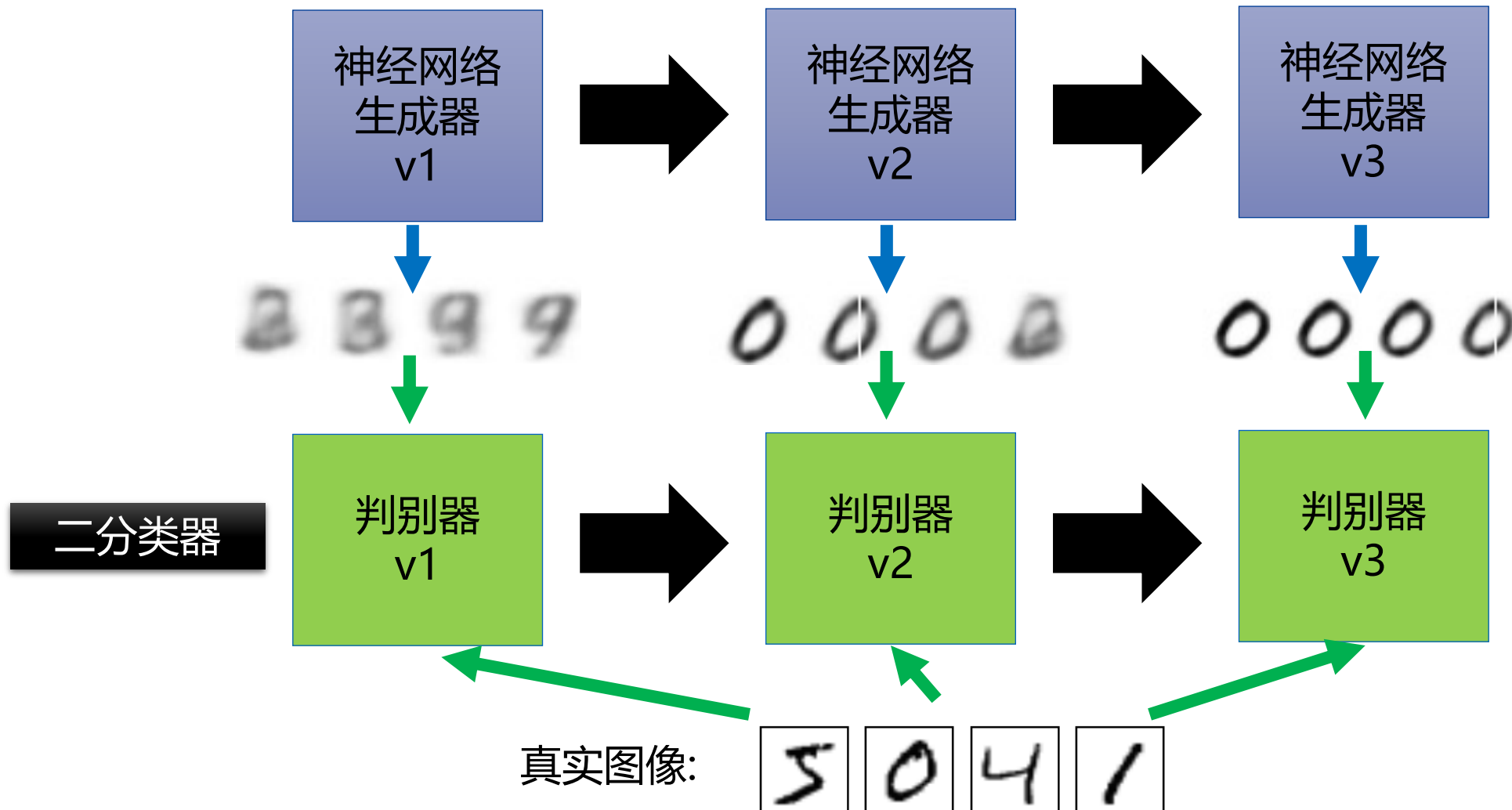
- VAE并没有真正尝试去模拟真实的图像



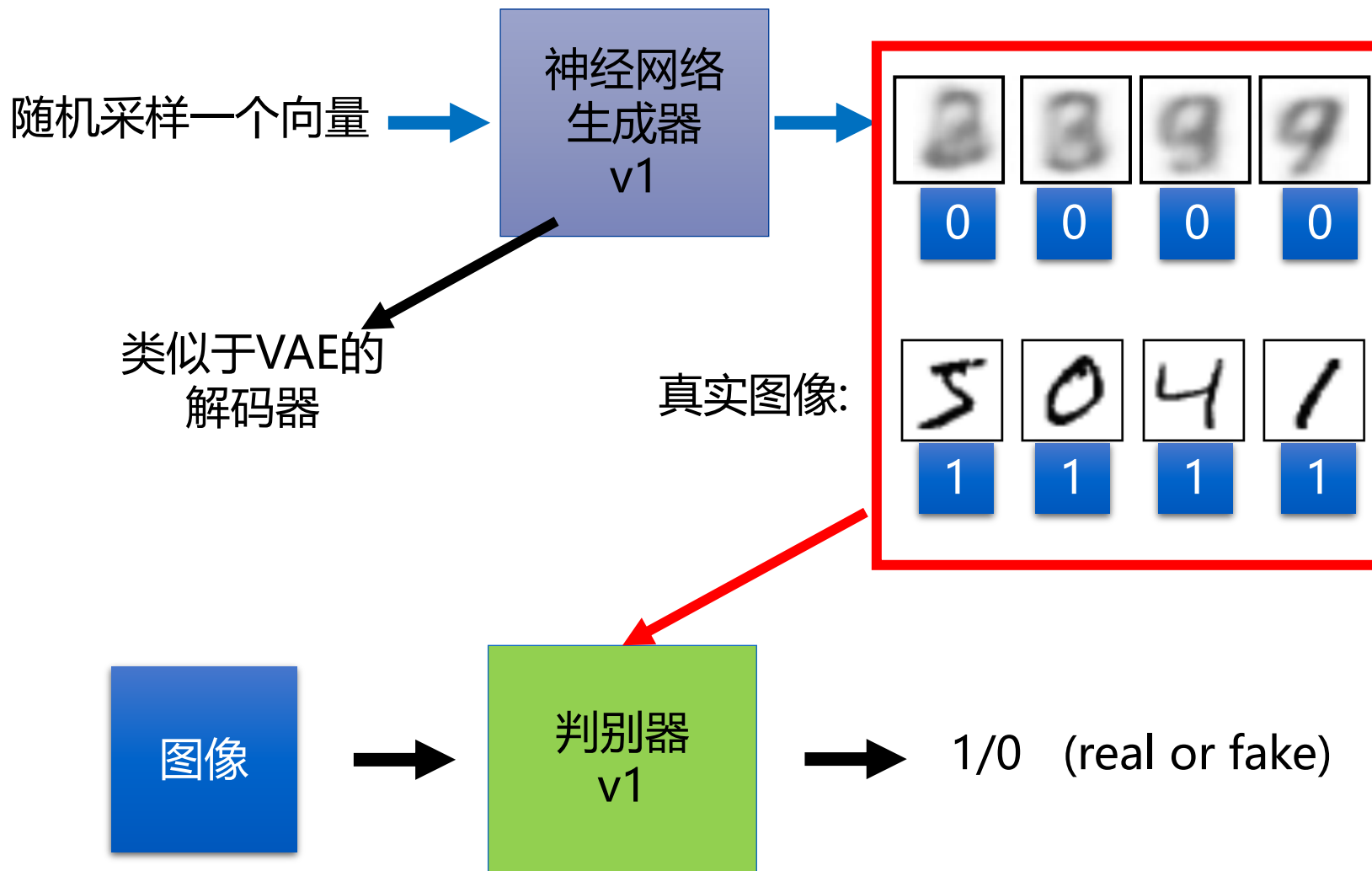
- 对抗网络：使用两个网络互相竞争，称之为对抗式结构



生成对抗网络 (GAN) 的迭代训练过程



生成对抗网络 —— 判别器



生成对抗网络 —— 生成器

更新生成器的参数

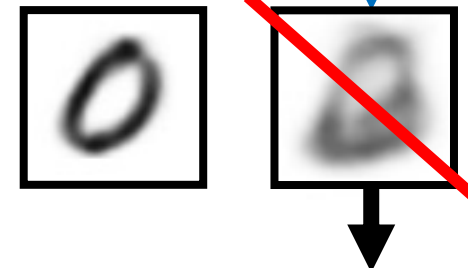
→ 目的是让输出被归类为“真”

生成器 + 判别器 = 一个网络

使用梯度下降来更新生成器中的参数，
但是固定住判别器

随机采样一个向量

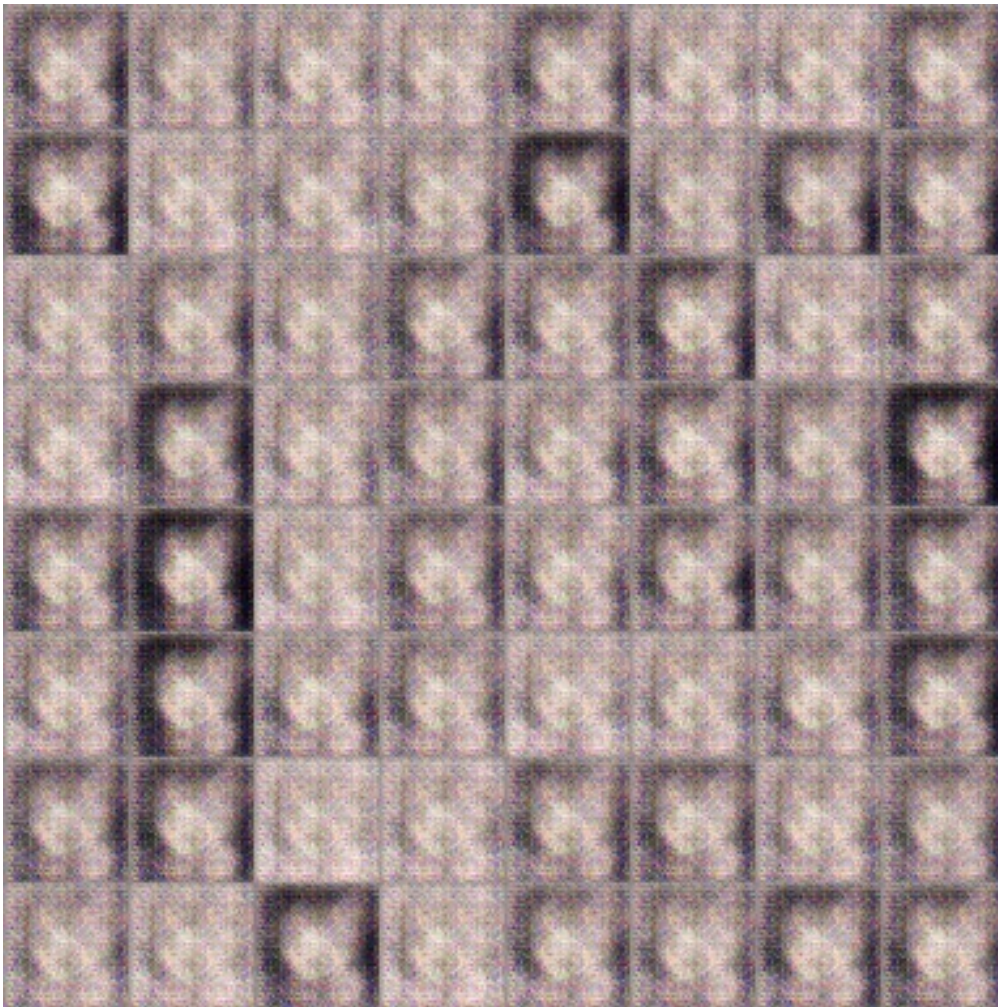
神经网络
生成器
 $v2 - v1$



判别器
 $v1$

1.0 ~~0.13~~

GAN示例 —— 二次元人物头像生成



100 轮次



1000 轮次

GAN示例 —— 二次元人物头像生成



2000 轮次

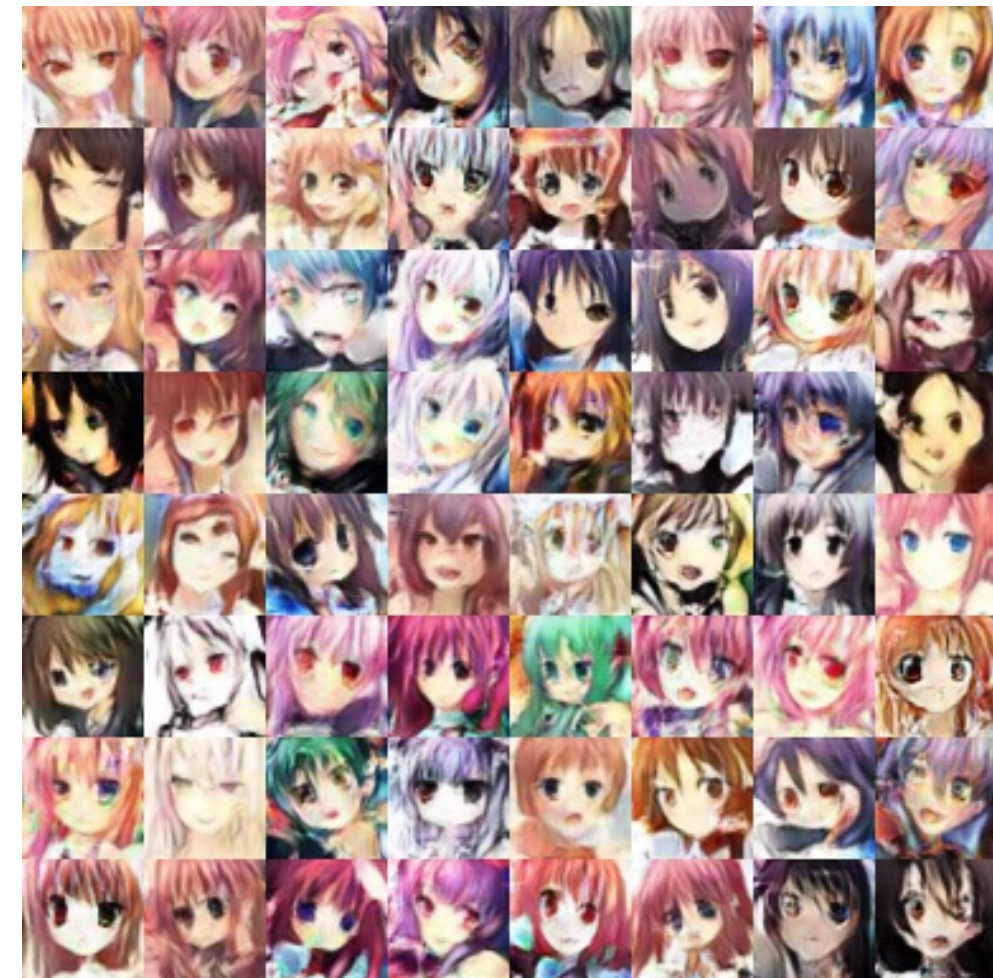


5000 轮次

GAN示例 —— 二次元人物头像生成

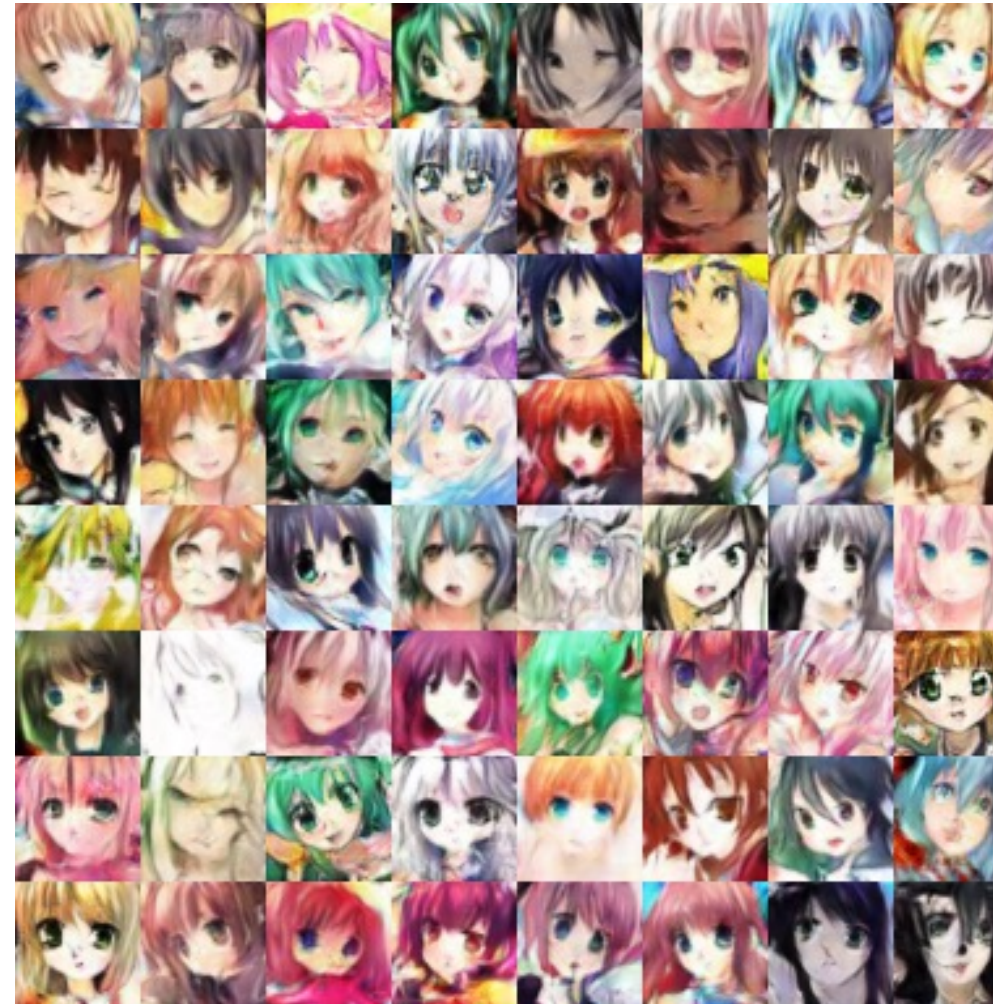


10000 轮次



20000 轮次

GAN示例 —— 二次元人物头像生成



50000 轮次

➤ 损失函数

$$L(G, D) = -E_{x \sim P_r} \log D(x) - E_{z \sim P_z} \log(1 - D(G(z)))$$

这个Loss其实就是交叉熵。对于判别器 D ，它的任务是最小化 $-L(G, D)$ ，即

$$L(G, D) = -E_{x \sim P_r} \log D(x) - E_{x \sim P_g} \log(1 - D(G(z)))$$

如果采用零和博弈，生成器 G 的目标是最小化 $L(G, D)$ ，而实际操作发现零和博弈训练效果并不好， G 的目标一般采用最小化

$$-E_{z \sim P_z} \log D(G(z)) \quad -E_{z \sim P_z} \log(1 - D(G(z)))$$

一般来说，更新D是，G是固定的；更新G时，D是固定的。

极大似然估计 (Maximum Likelihood Estimation)

- 给定一个数据分布: $P_{data}(x)$
- 我们可以得到一个由参数 θ 控制的分布: $P_G(x; \theta)$
 - 例如: $P_G(x; \theta)$ 是一个高斯混合模型, θ 指的是高斯分布的均值和方差
 - 我们想找到一组参数 θ , 使得生成分布 $P_G(x; \theta)$ 尽可能接近真实分布 $P_{data}(x)$

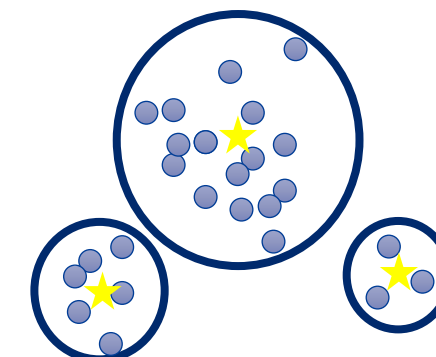
从 $P_{data}(x)$ 中采样得到 m 个样本 $\{x^1, x^2, \dots, x^m\}$

我们可以计算样本在生成分布中出现的概率 $P_G(x^i; \theta)$

生成这些样本的Likelihood:

$$L = \prod_{i=1}^m P_G(x^i; \theta)$$

找到一个最优参数 θ^* , 使得 L 最大



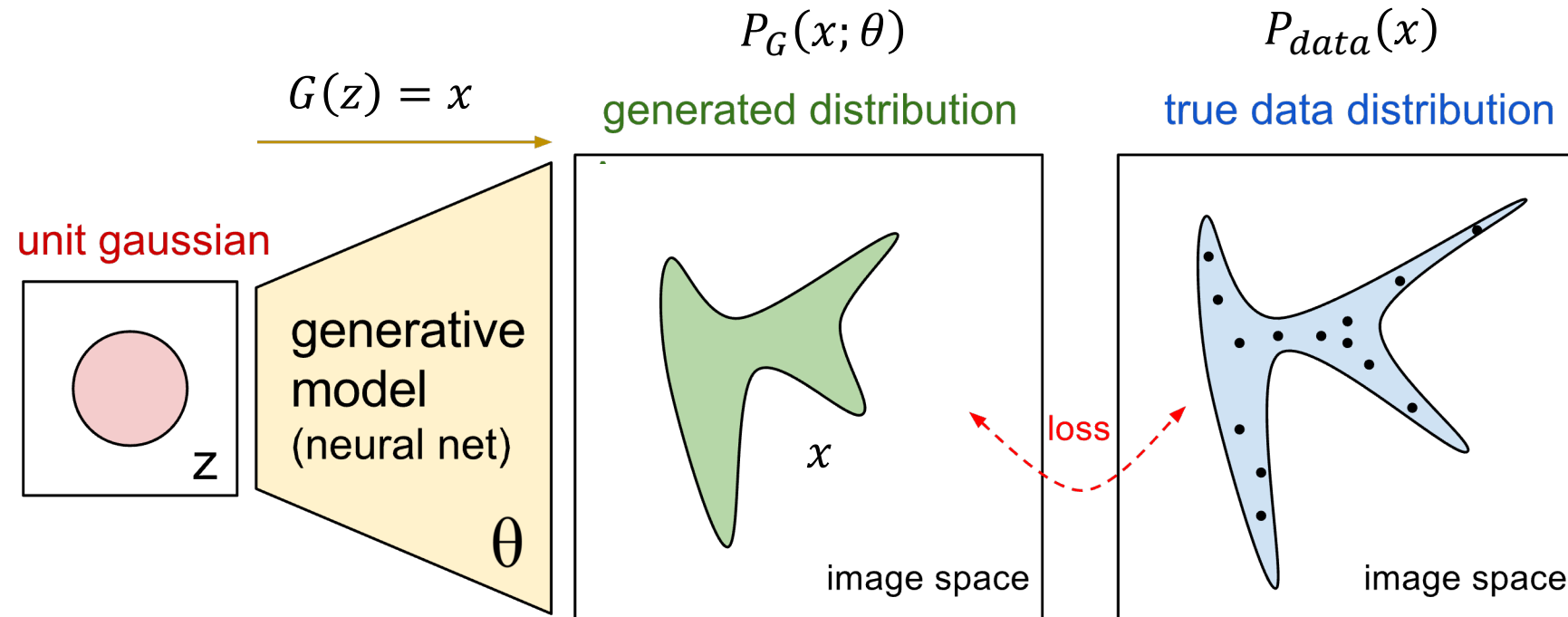
极大似然估计 (Maximum Likelihood Estimation)

$$\begin{aligned}\theta^* &= \arg \max_{\theta} \prod_{i=1}^m P_G(x^i; \theta) = \arg \max_{\theta} \log \prod_{i=1}^m P_G(x^i; \theta) \\ &= \arg \max_{\theta} \sum_{i=1}^m \log P_G(x^i; \theta) \quad \text{来自 } P_{data}(x) \text{ 的采样 } \{x^1, x^2, \dots, x^m\} \\ &\approx \arg \max_{\theta} E_{x \sim P_{data}} [\log P_G(x; \theta)] \\ &= \arg \max_{\theta} \int_x P_{data}(x) \log P_G(x; \theta) dx - \int_x P_{data}(x) \log P_{data}(x) dx \\ &= \arg \min_{\theta} KL(P_{data}(x) || P_G(x; \theta))\end{aligned}$$

如何得到一个非常通用的 $P_G(x; \theta)$?

极大似然估计 (Maximum Likelihood Estimation)

现在 $P_G(x; \theta)$ 是一个神经网络:



$$P_G(x) = \int_z P_{prior}(z) I[G(z)=x] dz$$

计算似然函数是非常困难的。

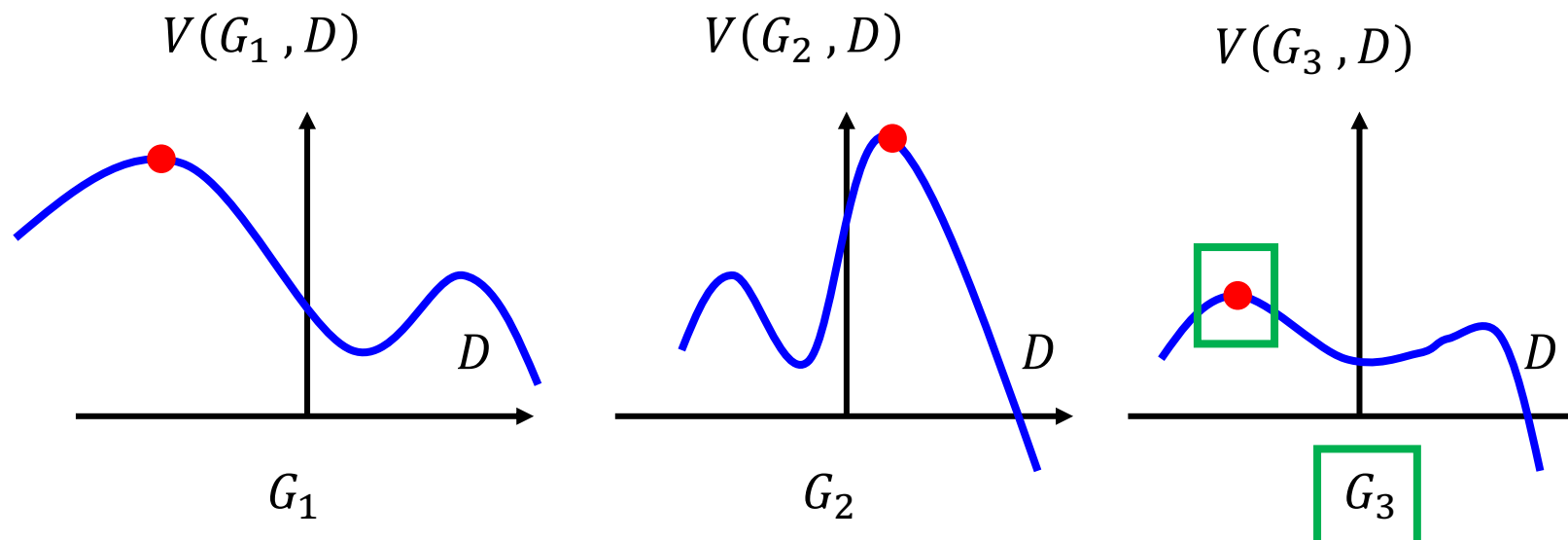
- 生成器 G 难以通过最大似然估计进行学习
 - G 是一个函数, 输入为 z , 输出为 x
 - 给定一个先验分布 $P_{\text{prior}}(z)$, 通过函数 G 定义了一个概率分布 $P_G(x)$
- 判别器 D
 - D 是一个函数, 输入为 x , 输出为一个标量
 - 评估 $P_G(x)$ 与 $P_{\text{data}}(x)$ 之间的“差异”
- 存在一个函数 $V(G, D)$.

$$G^* = \arg \min_G \max_D V(G, D)$$

$$G^* = \arg \min_G \max_D V(G, D)$$

$$V = E_{x \sim P_{data}} [\log D(x)] + E_{x \sim P_G} [\log(1 - D(x))]$$

给定一个生成器 G , $\max_D V(G, D)$ 评估 P_G 和 P_{data} 之间的差异
 选择能使定义的 P_G 与 P_{data} 最为相似的生成器 G



初始化辨别器 D 的参数 θ_d 以及生成器 G 的参数 θ_g

学习判别器
D

重复 k 次

学习生成器
G

仅执行
一次

- 在每一次训练迭代中:

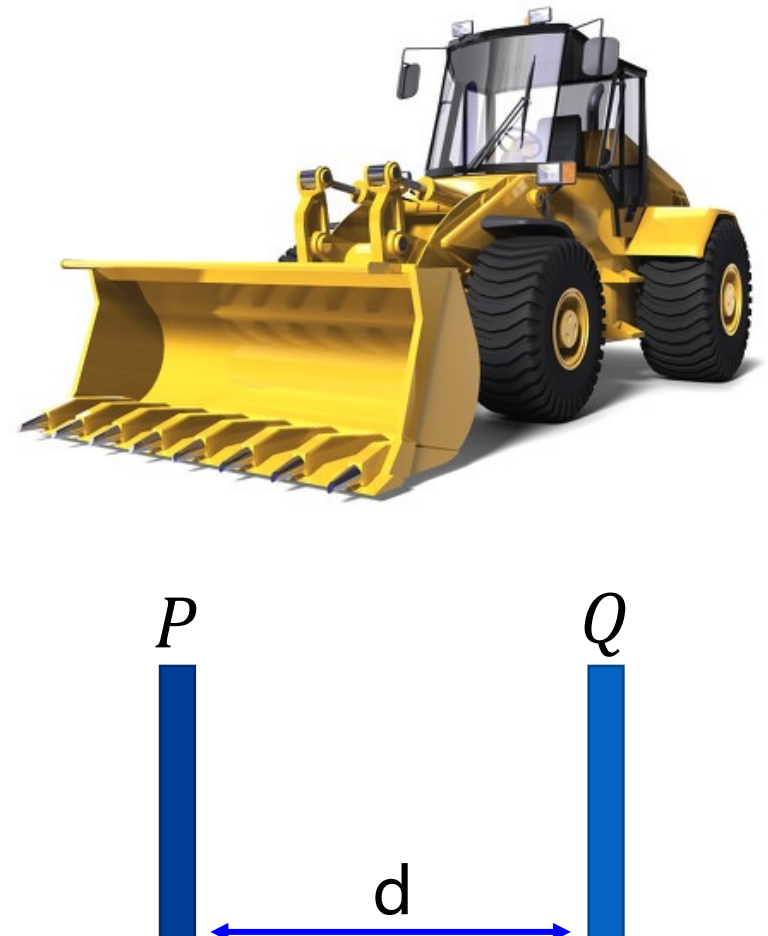
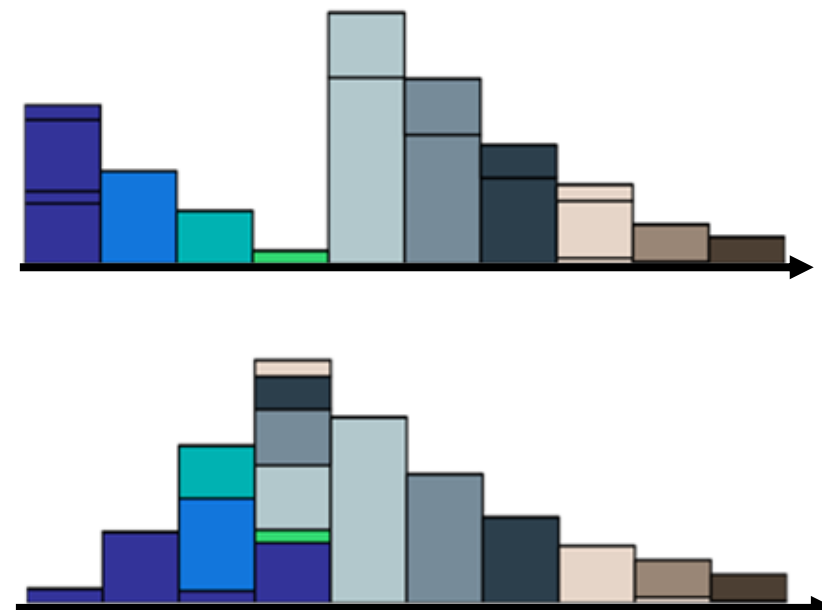
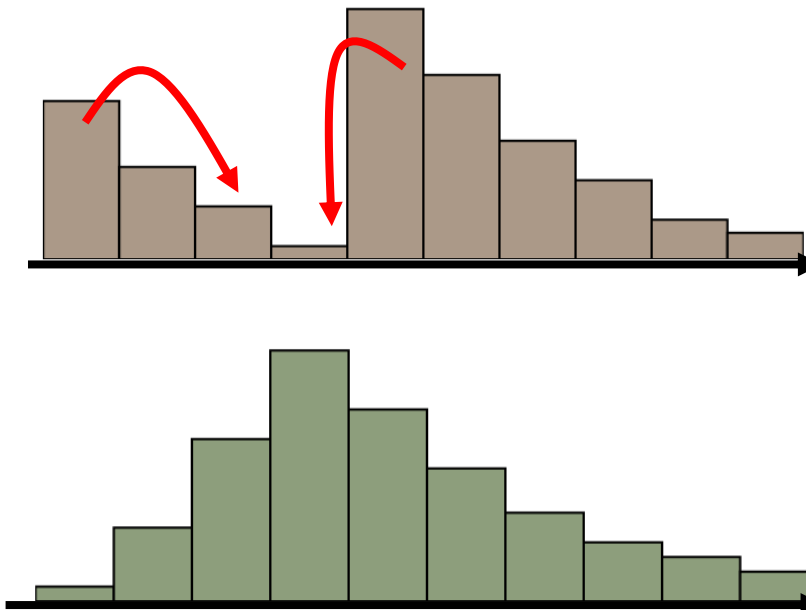
只能找到下界

$$\max_D V(G, D)$$

- 从数据分布 $P_{data}(x)$ 中采样 m 个样本 $\{x^1, x^2, \dots, x^m\}$
- 从先验分布 $P_{prior}(z)$ 中采样 m 个噪声样本 $\{z^1, z^2, \dots, z^m\}$
- 获得生成数据 $\{\tilde{x}^1, \tilde{x}^2, \dots, \tilde{x}^m\}, \tilde{x}^i = G(z^i)$
- 更新判别器参数 θ_d 以最大化以下目标函数:
 - $\tilde{V} = \frac{1}{m} \sum_{i=1}^m \log D(x^i) + \frac{1}{m} \sum_{i=1}^m \log (1 - D(\tilde{x}^i))$
 - $\theta_d \leftarrow \theta_d + \eta \nabla \tilde{V}(\theta_d)$
- 从先验分布 $P_{prior}(z)$ 中采样 m 个噪声样本 $\{z^1, z^2, \dots, z^m\}$
- 更新生成器参数 θ_g 以最小化以下目标函数:
 - $\tilde{V} = \frac{1}{m} \sum_{i=1}^m \log D(x^i) + \frac{1}{m} \sum_{i=1}^m \log (1 - D(G(z^i)))$
 - $\theta_g \leftarrow \theta_g - \eta \nabla \tilde{V}(\theta_g)$

推土机距离

- 将一个分布 P 视为一堆土, 将另一个分布 Q 视为目标
- 搬运工将这些图移动到实现目标形状所需要移动的平均距离



$$W(P, Q) = d$$

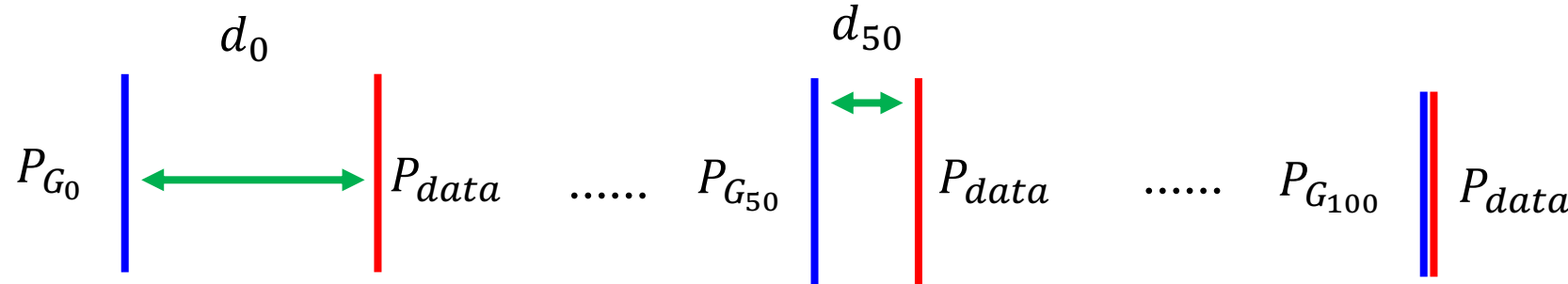
为什么要用推土机距离?

推土机距离 = Wasserstein距离

$$D_f(P_{data} \parallel P_G)$$



$$W(P_{data}, P_G)$$



$$JS(P_{G_0}, P_{data}) = \log 2$$

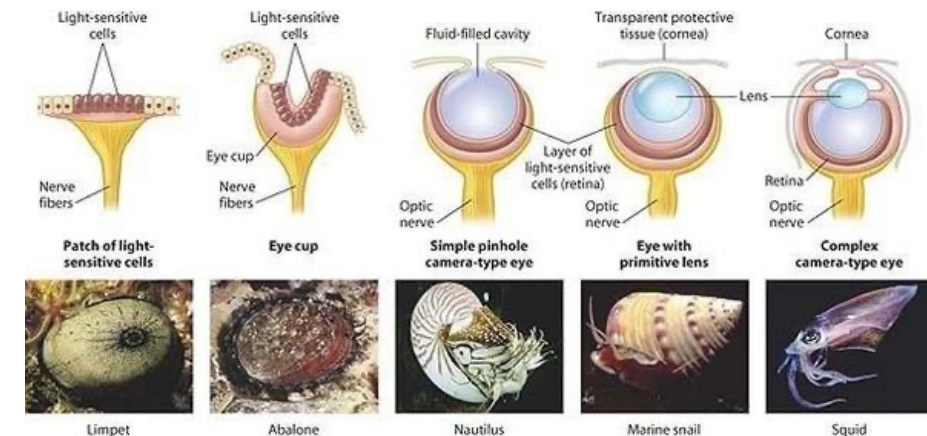
$$JS(P_{G_{50}}, P_{data}) = \log 2$$

$$JS(P_{G_{100}}, P_{data}) = 0$$

$$W(P_{G_0}, P_{data}) = d_0$$

$$W(P_{G_{50}}, P_{data}) = d_{50}$$

$$W(P_{G_{100}}, P_{data}) = 0$$



初始化辨别器 D 的参数 θ_d 以及生成器 G 的参数 θ_g

学习判别器
D

重复 k 次

学习生成器
G

仅执行
一次

D 的输出不使用sigmoid

- 在每一次训练迭代中:

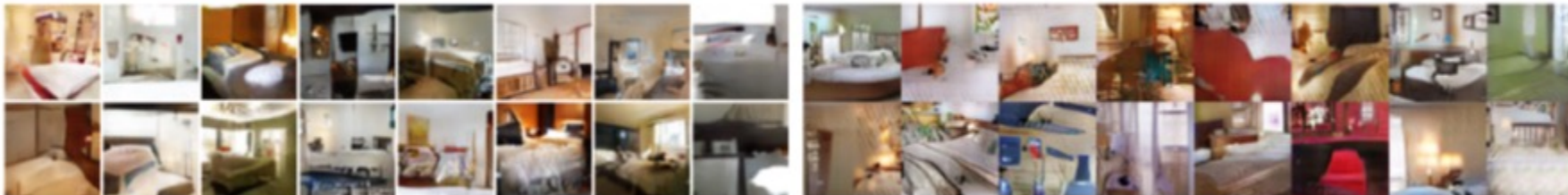
- 从数据分布 $P_{data}(x)$ 中采样 m 个样本 $\{x^1, x^2, \dots, x^m\}$
- 从先验分布 $P_{prior}(z)$ 中采样 m 个噪声样本 $\{z^1, z^2, \dots, z^m\}$
- 获得生成数据 $\{\tilde{x}^1, \tilde{x}^2, \dots, \tilde{x}^m\}, \tilde{x}^i = G(z^i)$
- 更新判别器参数 θ_d 以最大化以下目标函数:

$$\begin{aligned} & \cdot \tilde{V} = \frac{1}{m} \sum_{i=1}^m D(x^i) - \frac{1}{m} \sum_{i=1}^m D(\tilde{x}^i) \\ & \cdot \theta_d \leftarrow \theta_d + \eta \nabla \tilde{V}(\theta_d) \quad \text{权重裁剪} \end{aligned}$$

- 从先验分布 $P_{prior}(z)$ 中采样 m 个噪声样本 $\{z^1, z^2, \dots, z^m\}$
- 更新生成器参数 θ_g 以最小化以下目标函数:

$$\begin{aligned} & \cdot \tilde{V} = \frac{1}{m} \sum_{i=1}^m \log D(x^i) - \frac{1}{m} \sum_{i=1}^m \log D(G(z^i)) \\ & \cdot \theta_g \leftarrow \theta_g - \eta \nabla \tilde{V}(\theta_g) \end{aligned}$$

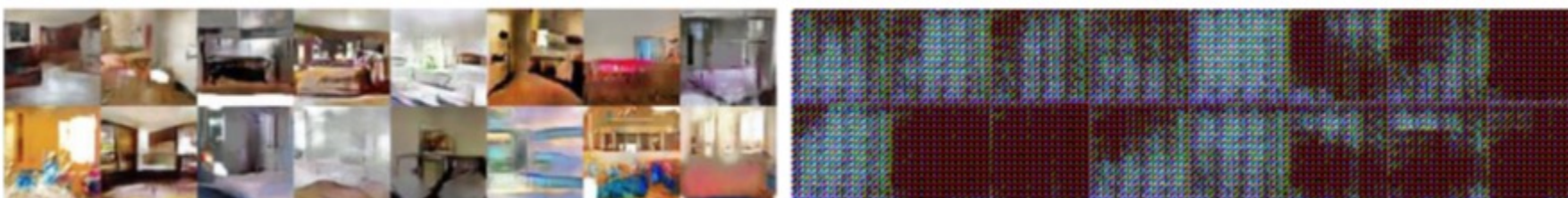
CNN 生成器:



W-GAN

GAN

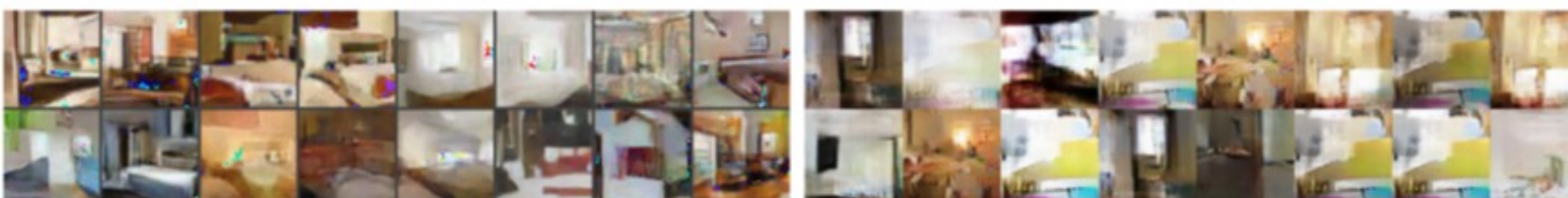
CNN 生成器 (未使用batch归一化, 结构不佳):



W-GAN

GAN

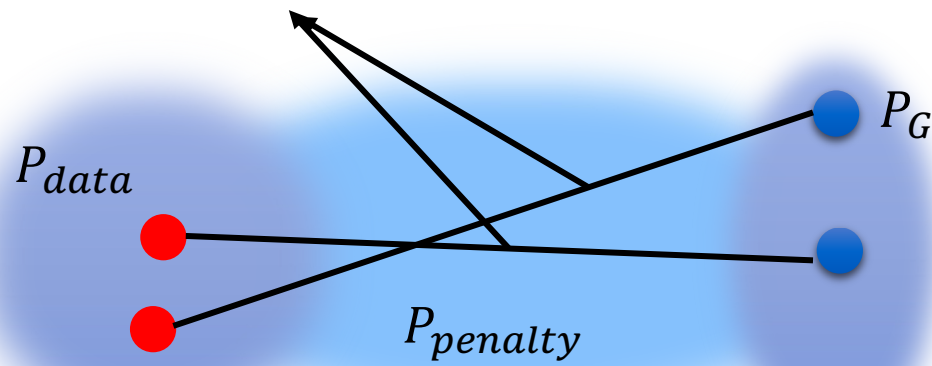
MLP 生成器:



W-GAN

GAN

$$W(P_{data}, P_G) \approx \max_D \{E_{x \sim P_{data}}[D(x)] - E_{x \sim P_G}[D(x)] - \lambda E_{x \sim P_{penalty}}[\max(0, \|\nabla_x D(x)\| - 1)]\}$$



“鉴于在所有地方都强制执行 Lipschitz 约束是难以实现的，仅在**这些直线（连接真实样本和生成样本的直线）**上执行约束似乎就足够了，并且实验结果表明其性能良好。”

仅对 P_{data} 和 P_G 之间的区域施加梯度约束，因为这些区域直接影响了 P_G 如何向 P_{data} 移动。

改进型WGAN、 WGAN等模型效果的比较

DCGAN
G: CNN, D: CNN



LSGAN



原始WGAN



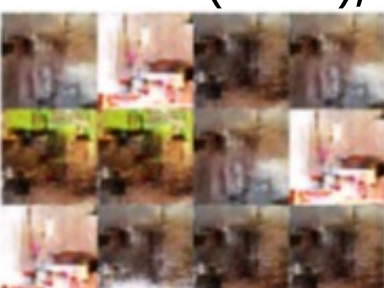
改进型WGAN



G: CNN (no normalization), D: CNN (no normalization)



G: CNN (tanh), D: CNN(tanh)



条件生成对抗网络 (cGAN)

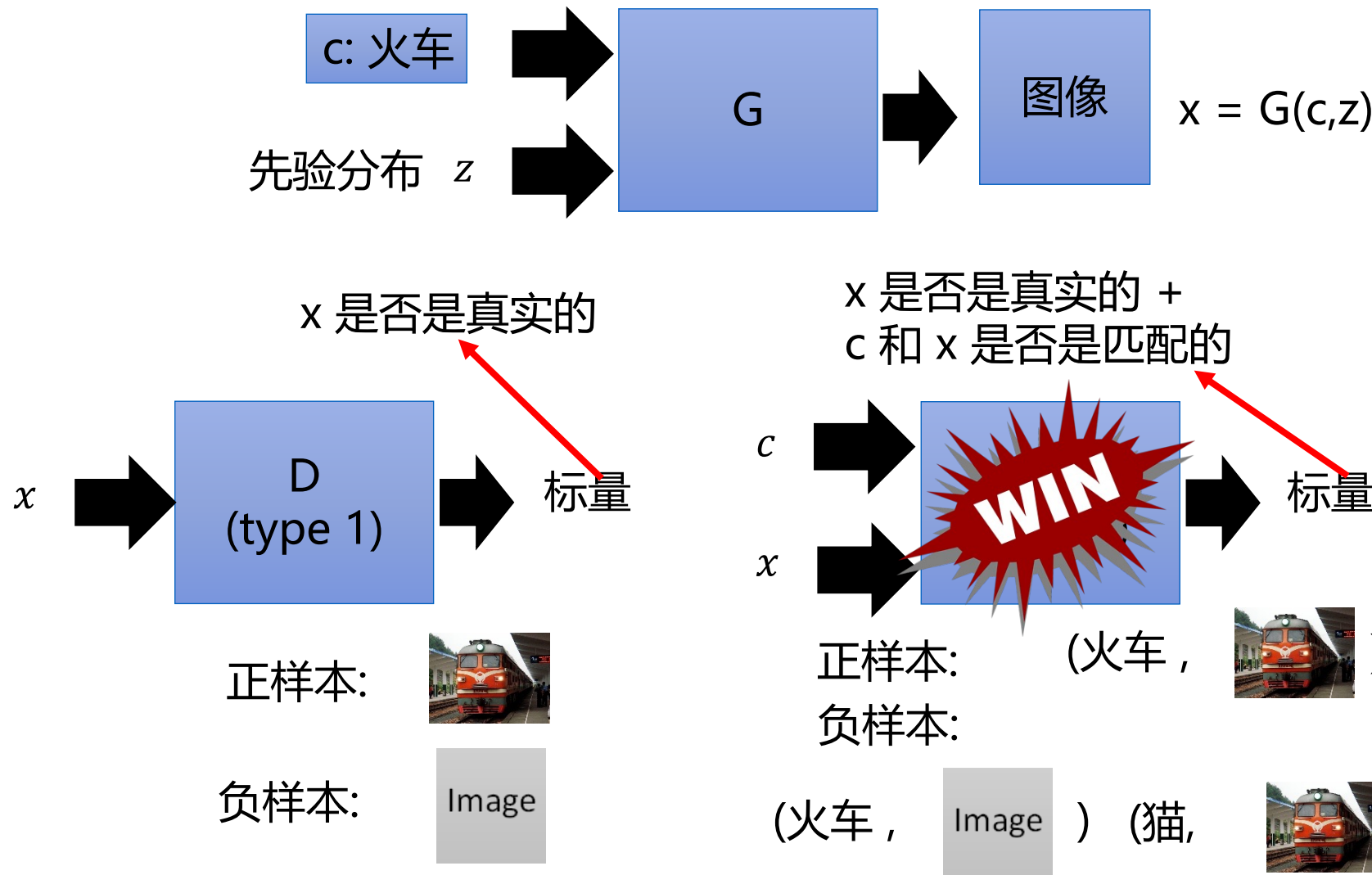
- 传统监督学习下的文本转图像



c^1 : 一只狗在跑 \hat{x}^1 : 

c^2 : 一只鸟在飞 \hat{x}^2 : 

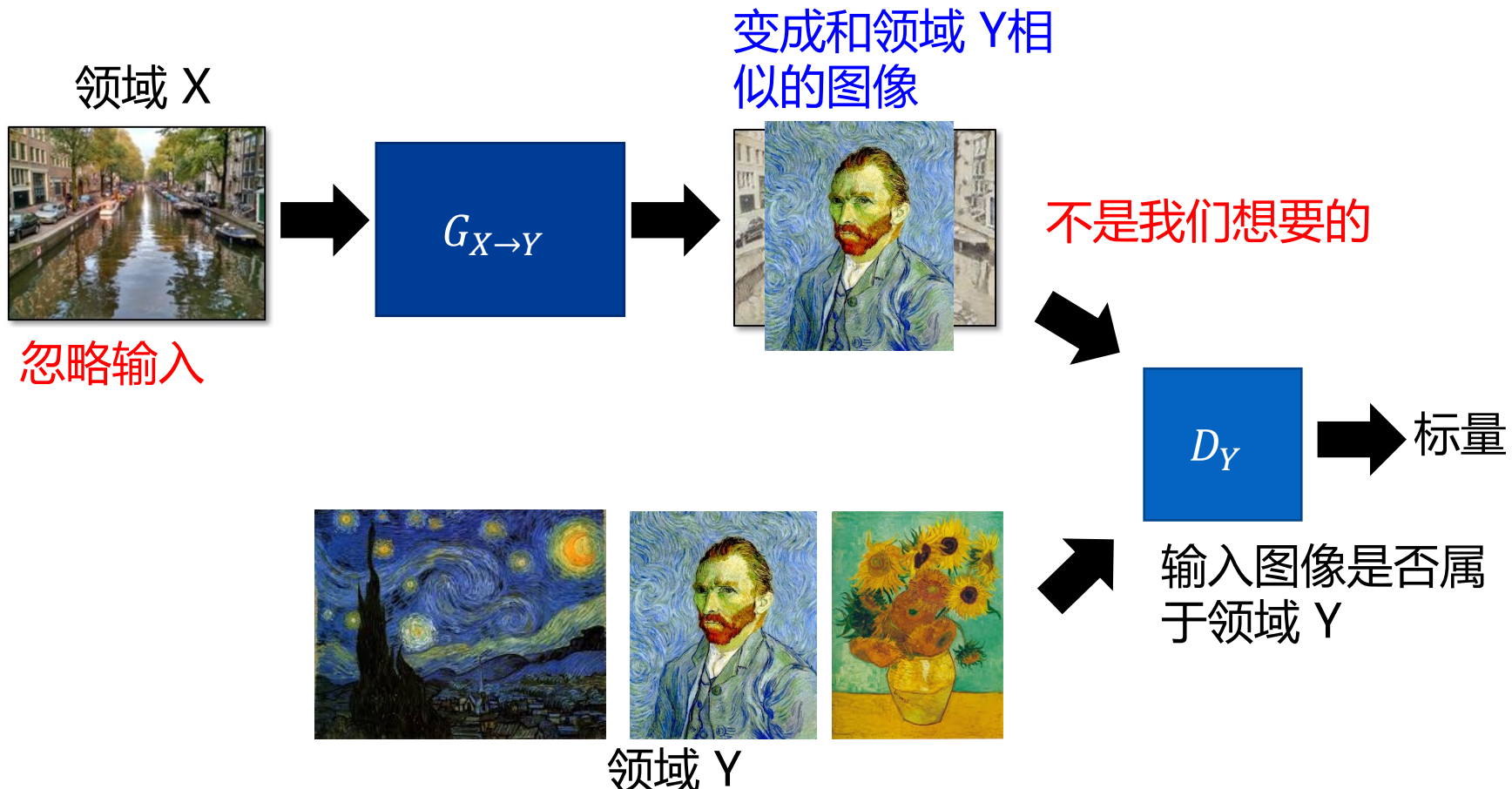
条件生成对抗网络 (cGAN)

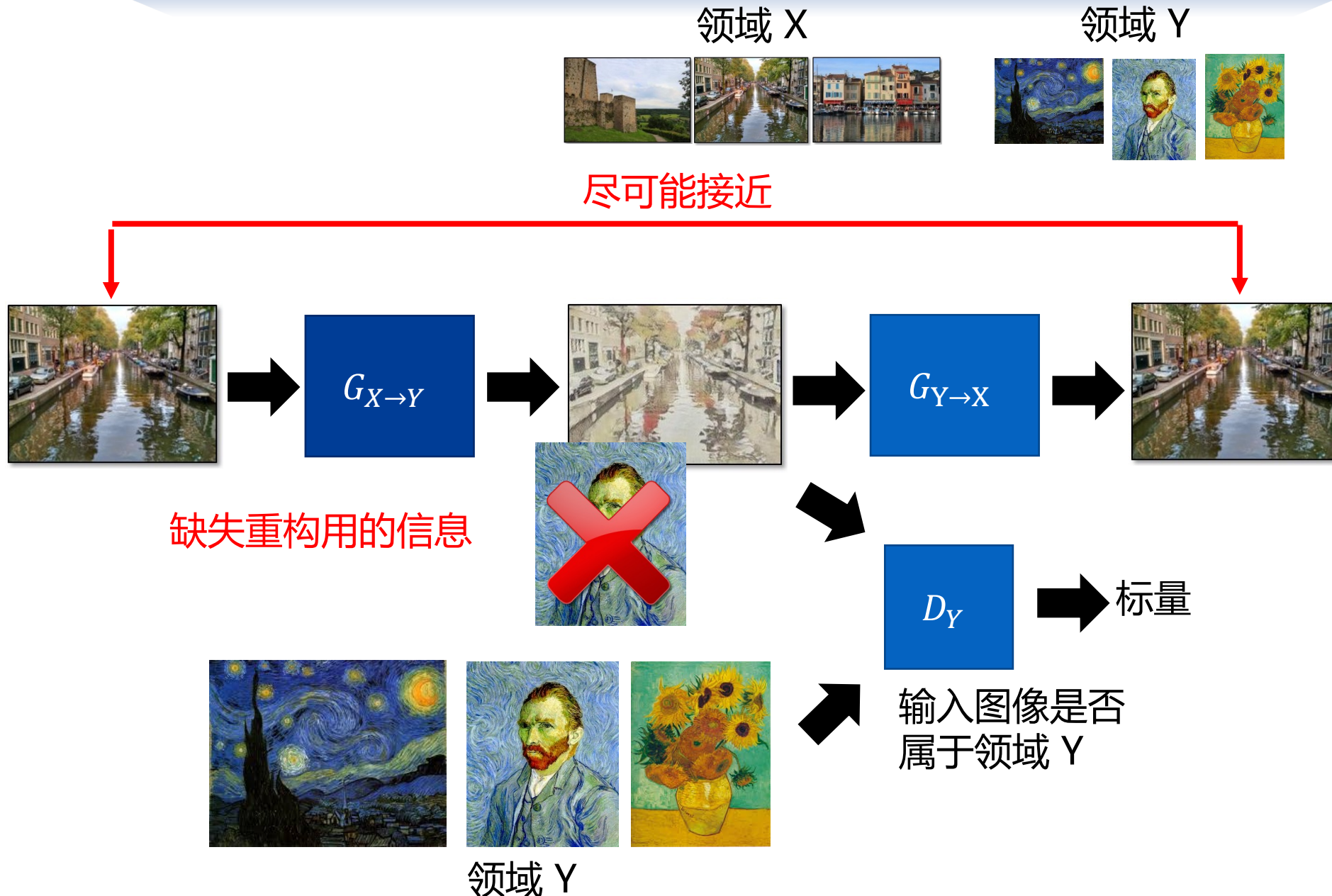


Cycle GAN

<https://arxiv.org/abs/1703.10593>

<https://junyanz.github.io/CycleGAN/>





章节目录

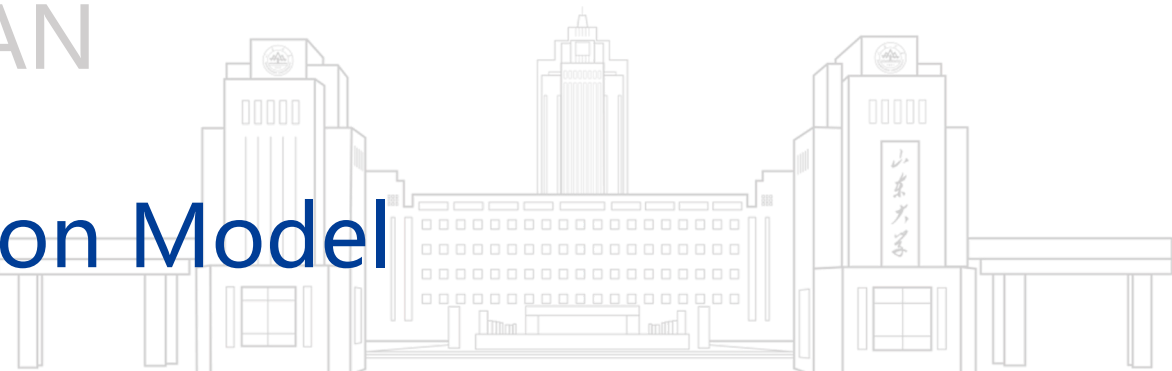
CONTENTS

01 | 背景介绍

02 | 变分自编码器 VAE

03 | 生成对抗网络 GAN

04 | 扩散模型 Diffusion Model



- 变分扩散模型

- Variational Diffusion Model (VDM)
- 涉及：马尔科夫链、极大似然估计、变分推断等

- 基于分数的生成模型

- Score-based Generative Model (SGM)
- 涉及：朗之万动力学、分数匹配、随机微分方程、常微分方程等

- 变分扩散模型

- Variational Diffusion Model (VDM)
- 涉及：马尔科夫链、极大似然估计、变分推断等

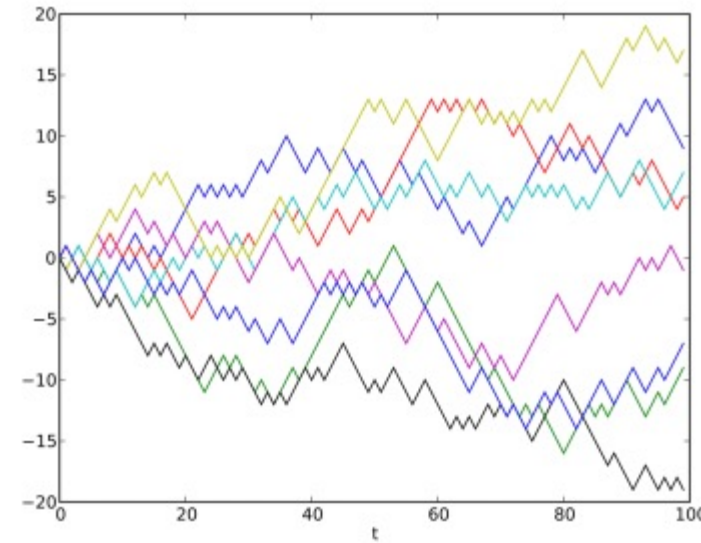
- 基于分数的生成模型

- Score-based Generative Model (SGM)
- 涉及：朗之万动力学、分数匹配、随机微分方程、常微分方程等

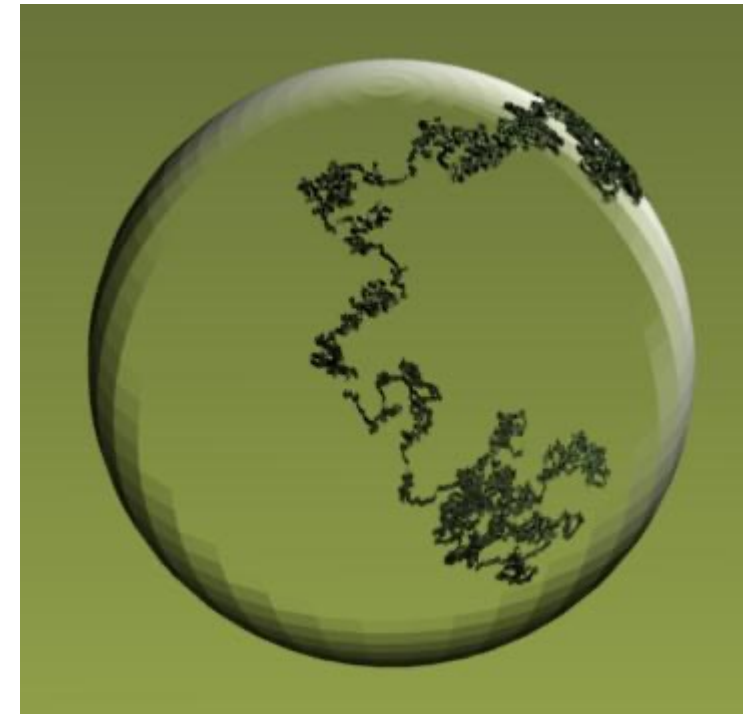
时间 t 可以是离散的
也可以是连续的!

- **随机过程** (Stochastic Process) $\{X_t, t \in T\}$ 是一组依
赖时间 t 变化的随机变量/向量。
- **状态空间** (State Space) 是 X_t 所有可能取值构成的集
合。
- X_t 表示随机变量/向量, x_t 表示具体的取值
- 边际分布、条件分布、联合分布

- **例1 (随机游动) :** 一个醉汉在路上行走, 以概率 p 前进一步, 以概率 $1 - p$ 后退一步 (假定其步长相同)。以 X_t 记他在路上的位置, 则 $\{X_t\}$ 就是直线上的随机游动。



- **例2 (布朗运动)** : 飘浮在液面上的微小粒子会不断进行无规则的运动。若记 (X_t, Y_t) 为粒子在平面坐标上的位置，则它是平面上的布朗运动。



一个计算机模拟的
布朗运动

- 假设 $\{X_t\}_{t>0}$ 是一个离散时间的随机过程， X_t 表示系统在 t 时刻的状态。记 t 为当前时刻，若对任意 $t > 0$ 和 x_0, \dots, x_{t+1} ，都有

$$\begin{aligned} & \Pr(X_{t+1} = x_{t+1} \mid X_t = x_t, X_{t-1} = x_{t-1}, \dots, X_0 = x_0) \\ &= \Pr(X_{t+1} = x_{t+1} \mid X_t = x_t), \end{aligned}$$

则称 $\{X_t\}_{t>0}$ 具有马尔科夫性质。

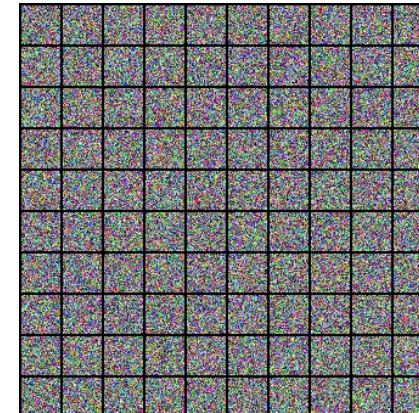
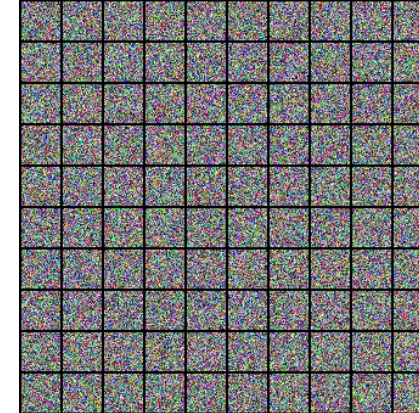
$$\Pr(X_{t+1} = x_{t+1} \mid X_t = x_t, X_{t-1} = x_{t-1}, \dots, X_0 = x_0)$$
$$= \Pr(X_{t+1} = x_{t+1} \mid X_t = x_t)$$

未来 当前 过去

未来的状态只依赖于当前的状态，
而与过去的状态无关

- **马尔科夫链** (Markov Chain) 是一类具有马尔科夫性质的随机过程。
- 即未来的状态只依赖于当前的状态，而与过去的状态无关。

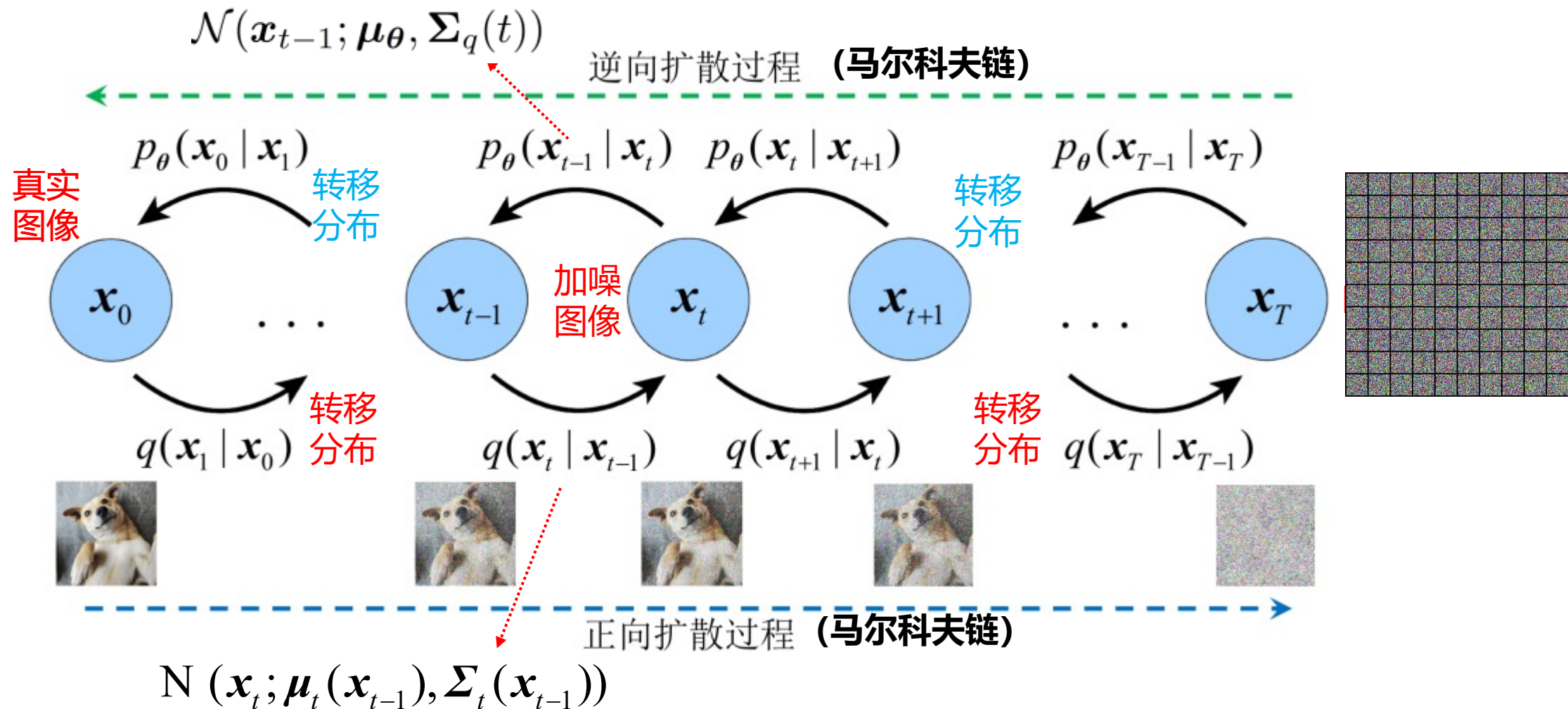
- DDPM简介
- 正向与逆向扩散过程
- 损失函数（无推导）
- 网络结构
- 训练与采样算法
- 实验效果：Fashion MNIST



- 去噪扩散概率模型
- Denoising Diffusion Probabilistic Models
- 由Jonathan Ho等人于2020年提出
- 属于变分扩散模型的一种!

Ho, Jonathan, Ajay Jain, and Pieter Abbeel. "Denoising diffusion probabilistic models." *NeurIPS 2020*

正向/逆向扩散过程



- Forward Diffusion
- 从 $x_0 \sim p_{data}(x_0)$ 到 $x_T \sim N(0, I)$ 的加噪过程
- 无可学习参数
- 状态转移分布为

$$q(x_t | x_{t-1}) = N(x_t; \mu_t(x_{t-1}), \Sigma_t(x_{t-1}))$$

- 满足马尔科夫性质

- Reverse Diffusion
- 从 $x_T \sim N(0, I)$ 到 $x_0 \sim p_{data}(x_0)$ 的去噪过程
- 含有可学习参数 θ
- 状态转移分布为
$$p_{\theta}(x_{t-1}|x_t) = N(x_{t-1}; \mu_{\theta}(x_t, t), \Sigma_{\theta}(x_t, t))$$
- 满足马尔科夫性质

- 本质：需要极大化对数似然的证据下界 (ELBO)

$$\log p_\theta(x) = \log \int p_\theta(x_{0:T}) dx_{1:T} \geq \mathbb{E}_{q(x_{1:T}|x_0)} \left[\frac{p(x_{0:T})}{q(x_{1:T}|x_0)} \right]$$

- 另外，在正向扩散过程中，可推导出

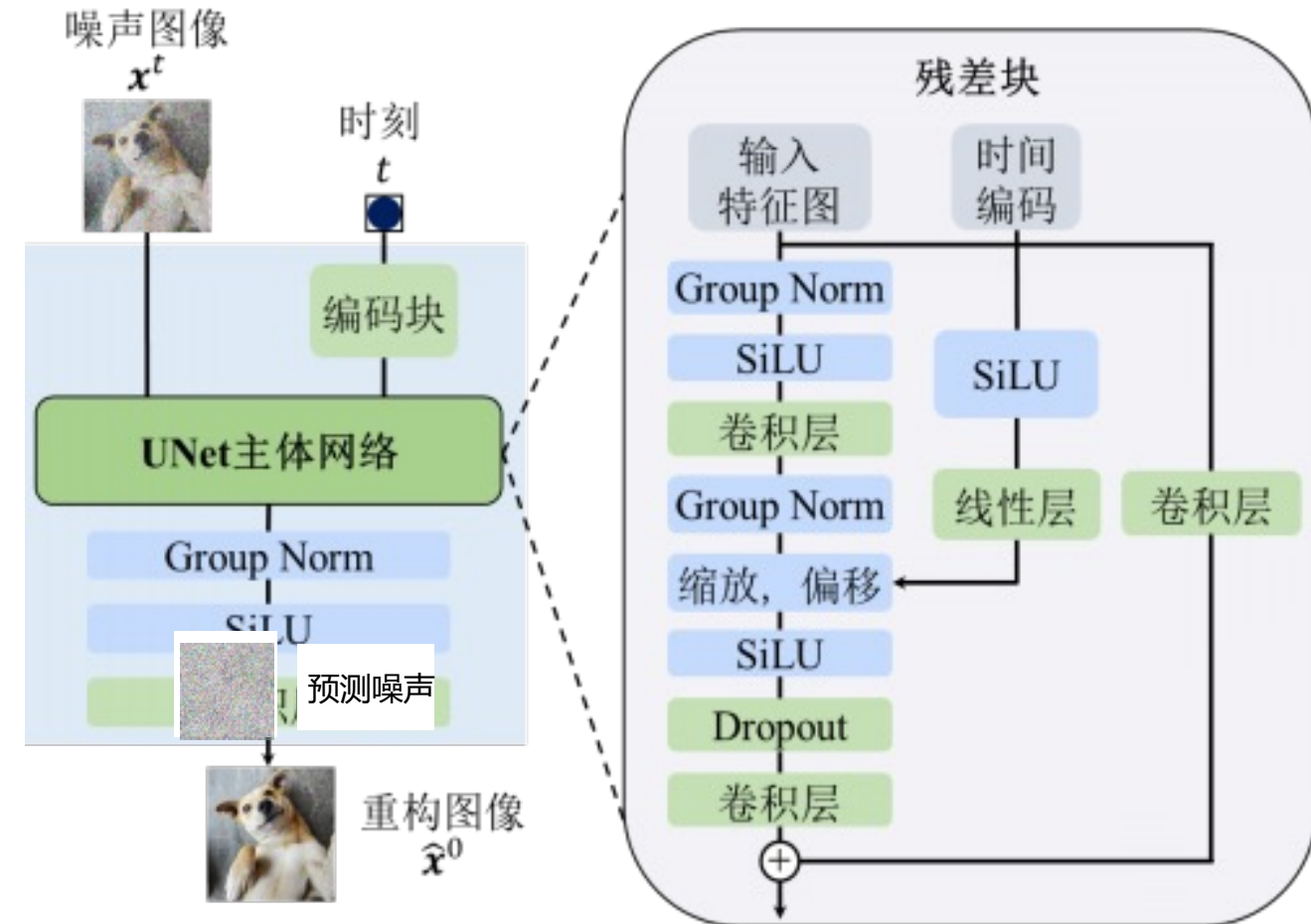
$$x_t = \sqrt{\bar{\alpha}_t} x_0 + \sqrt{1 - \bar{\alpha}_t} \varepsilon_0$$

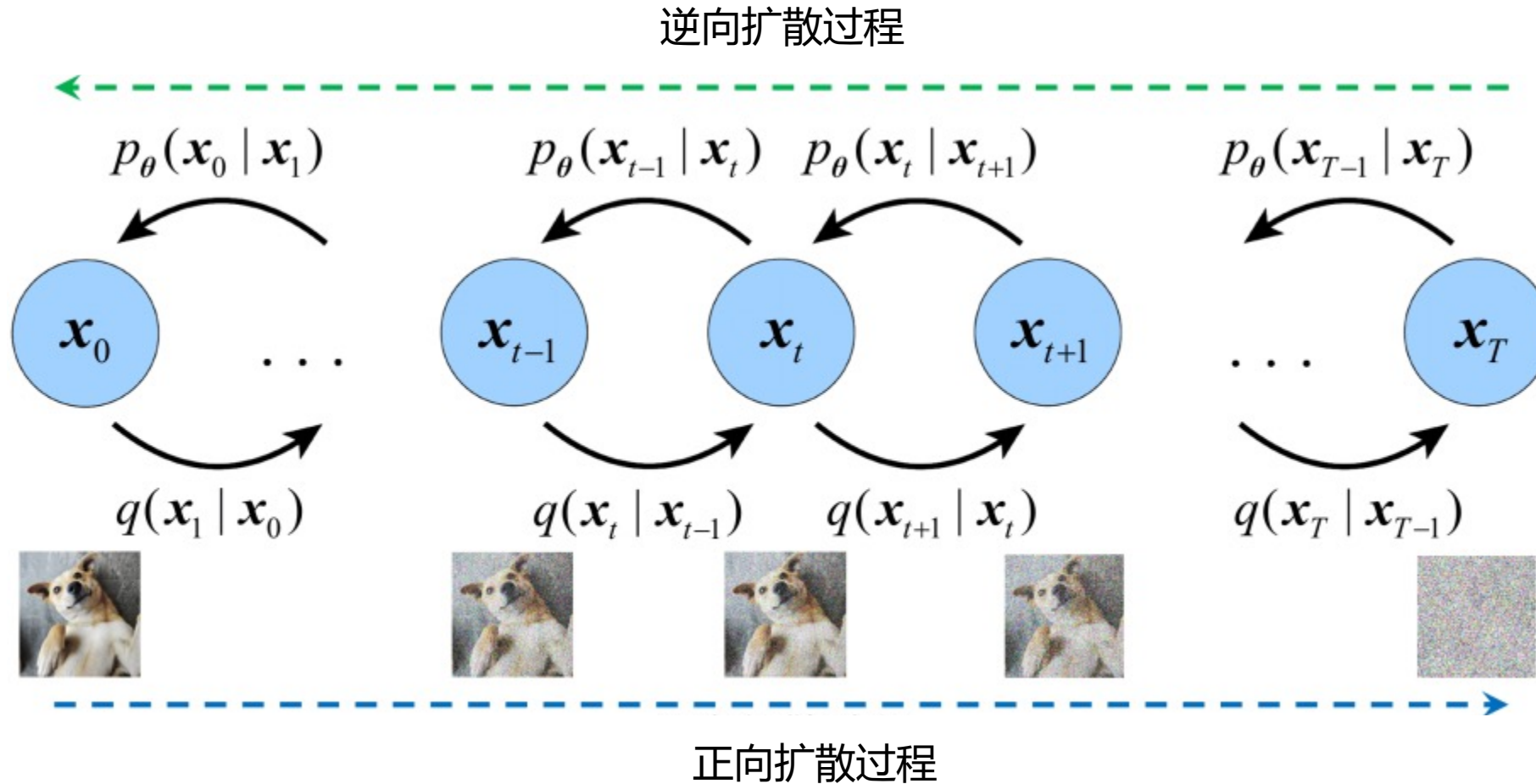
- 可证明：最大化ELBO近似等价于**噪声预测**损失：

$$L^{\text{DDPM}}(\theta) = \mathbb{E}_{\varepsilon_0 \sim N(\theta, I), t \sim DU(0, T), X_0 \sim p(x_0)} \left[\left\| \varepsilon_0 - \hat{\varepsilon}_\theta(\sqrt{\bar{\alpha}_t} X_0 + \sqrt{1 - \bar{\alpha}_t} \varepsilon_0, t) \right\|_2^2 \right]$$


相比于传统的U-Net结构

- 组归一化 (GN) 替代批量归一化 (BN)
- 引入了残差连接和注意力机制
- 将时间 t 编码成一个嵌入向量 (如正弦位置嵌入)





算法6-1：DDPM的训练算法[Ho et al., 2020]

- 1: **while** 不收敛
 - 2: 从训练集中随机抽取样本 x_0 ;
 - 3: 从离散均匀分布采样时刻 $t \sim DU(2, T)$;
 - 4: 从标准高斯分布采样源噪声 $\varepsilon_0 \sim \mathcal{N}(0, I)$;
 - 5: 根据以下梯度进行梯度下降 (Gradient Descent)
$$\nabla_{\theta} \|\varepsilon_0 - \hat{\varepsilon}_{\theta}(\sqrt{\bar{\alpha}_t}x_0 + \sqrt{1-\bar{\alpha}_t}\varepsilon_0, t)\|_2^2$$
 - 6: **end while**
-

算法6-2：DDPM的训练算法[Ho et al., 2020]

```
1: 采样高斯白噪声  $x_T \sim \mathcal{N}(0, I)$ ;  
   // 从时刻T出发，构建一条逆向马尔科夫链  
2: for  $t = T$  to 1 do  
3:   if  $t > 1$   
4:     采样高斯白噪声  $z \sim \mathcal{N}(0, I)$ ;  
5:   else  
6:      $z = 0$ ;  
   // 根据公式(6-54)以及再参数化技巧，从  $x_t$ 生成  $x_{t-1}$   
7:   
$$x_{t-1} = \frac{1}{\sqrt{\alpha_t}} \left( x_t - \frac{1 - \alpha_t}{\sqrt{1 - \bar{\alpha}_t}} \hat{\varepsilon}_\theta(x_t, t) \right) + \sigma_q(t) \cdot z$$
  
8: end for  
9: return  $x_0$ 
```

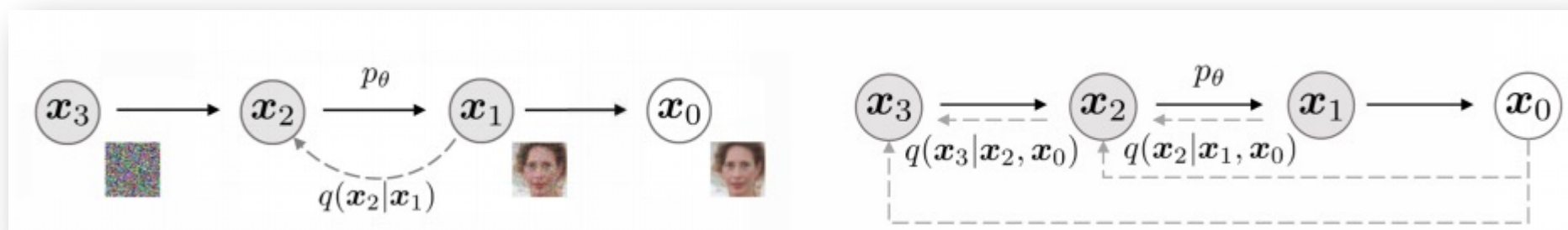
实验效果：Fashion MNIST



表 6-1 Fashion MNIST 数据集上不同生成模型的 FID 与 IS 分数

模型	类型	FID 分数 (↓)	IS 分数 (↑)	采样速度 (张/秒) (↑)
测试集	—	0.011	9.389	—
VAE	变分自编码器	3.186	5.799	3.65×10^4
DCGAN	生成对抗网络	2.379	7.525	4.92×10^4
SNGAN	生成对抗网络	0.487	8.499	3.52×10^4
RealNVP	标准化流	1.385	7.540	3.32×10^4
DDPM	扩散模型	0.647	8.672	7.18
SGM	扩散模型	0.525	9.058	10.10

- 去噪扩散隐模型
- Denoising Diffusion Implicit Models (DDIM)
- DDIM和DDPM有相同的训练目标，但是它不再限制扩散过程必须是一个马尔卡夫链，这使得DDIM可以采用更小的采样步数来加速生成过程
- 牺牲多样性换取更快的推断速度



- 在某个实验中，采样179800张 64×64 的RGB图片
 - 基于GAN: 0.012~0.031小时 (43~112秒)
 - 基于DDIM: 27.2小时

此实验中，GAN的采样速度是DDIM的1295倍！

- 分类器引导 (Classifier Guidance)
- 无分类器引导 (Classifier-Free Guidance)

目的：给扩散模型加入条件！

- Ablated Diffusion Model (ADM, 2021)
- 相对于DDPM有两方面改进：
 - 扩散模型结构的改进
 - 利用一个预训练的分类器，从预训练的DDPM采样
- 意义：性能媲美甚至超过GAN、进行基于类别标签的图像生成



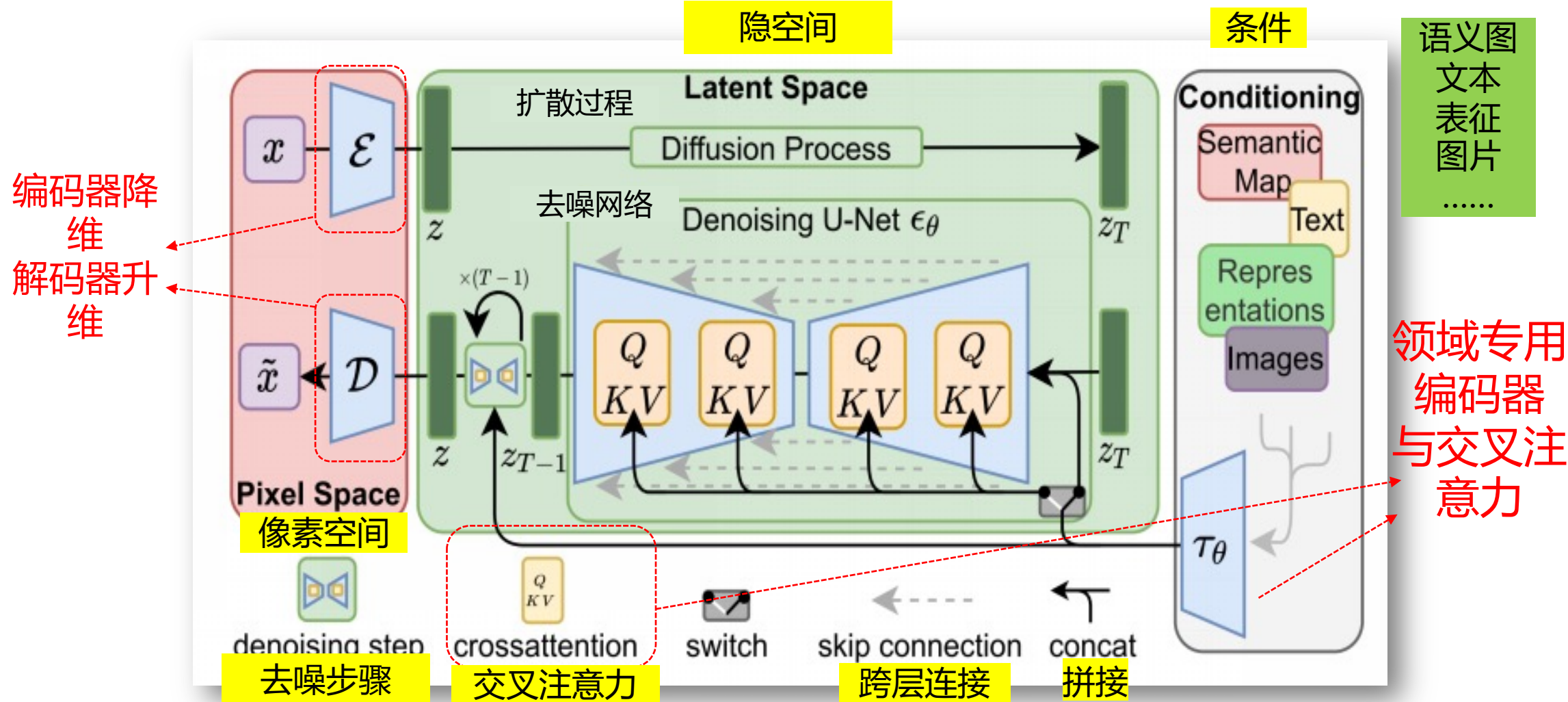
- 不再依赖预训练分类器也可以进行基于条件的生成式建模
- 基于对Stein' s分数函数的分解

$$\nabla \log p(\mathbf{x}_t | \mathbf{y}) = \gamma \cdot \underbrace{\nabla \log p(\mathbf{x}_t | \mathbf{y})}_{\text{耕耘技竦}} + (1 - \gamma) \cdot \underbrace{\nabla \log p(\mathbf{x}_t)}_{\text{耕耘技竦}}$$

- 意义：是DALL·E 2、Imagen、Stable Diffusion等大模型的组成部分。



- Latent Diffusion Models (LDM, 2022)
- **将扩散过程放在低维度的隐空间** (latent space) , 可降低训练和推理代价。
- **新的条件输入机制**: 类别标签、文字、布局等。
- 可完成无条件图片生成、文生图、图片修复、图片超分等任务。
- 可生成更细致、更高分辨率的图像。





提示词：一幅具有毕加索风格的最后的晚餐

'A painting of the last supper by Picasso.'

